

الله
بِسْمِ اللّٰهِ الرَّحْمٰنِ الرَّحِيْمِ
الْحٰمِدُ لِلّٰهِ رَبِّ الْعٰالَمِينَ



دانشکده : فیزیک

گروه : فیزیک

اثر وابستگی به زمینه در ایمنی توزیع کلید کوانتومی

دانشجو :

فاطمه محمدی پلارتی

استاد راهنما :

دکتر حسین موحدیان

شهریور ۱۳۹۰

تقدیم به:

پدر مهربان و مادر دلسوزم، که در تعلیم و تربیت من فداکارانه از هیچ کوششی دریغ نکردند و در هر مرحله از زندگی مرا حمایت کردند. به پاس این خدمات پایاننامه‌ی حاضر را به آنان تقدیم می‌کنم.

تشکر و قدردانی:

با نام خالق هستی راهی را آغاز نمودم که پیمودنش آسان نبود جز با نام و یاد او، و اکنون

که به پایان راه رسیده‌ام سر به سجده‌ی شکر او فرو می‌برم.

در اینجا وظیفه‌ی خود می‌دانم استاد راهنمای گرامی خویش، جناب دکتر حسین

موحدیان را سپاس گویم چرا که ایشان با راهنمایی‌هایشان، در تمام مراحل کار مرا یاری

کردند و سپس از تمام کسانی که در این پایان‌نامه به گونه‌ای راهگشای من بودند، کمال

تشکر و قدردانی را دارم.

تعهد نامه

اینجانب فاطمه محمدی پلارتی دانشجوی دوره کارشناسی ارشد رشته و گرایش تحصیلی : فیزیک - ذرات بنیادی
دانشکده فیزیک دانشگاه صنعتی شاهرود نویسنده پایان نامه اثر وابستگی به زمینه در اینمی توزیع کلید کوانتمومی
تحت راهنمایی دکتر حسین موحدیان متعهد می شوم .

- تحقیقات در این پایان نامه توسط اینجانب انجام شده است و از صحت و اصالت برخوردار است .
- در استفاده از نتایج پژوهش‌های محققان دیگر به مرجع مورد استفاده استناد شده است .
- مطالب مندرج در پایان نامه تاکنون توسط خود یا فرد دیگری برای دریافت هیچ نوع مدرک یا امتیازی در هیچ جا ارائه نشده است .
- کلیه حقوق معنوی این اثر متعلق به دانشگاه صنعتی شاهرود می باشد و مقالات مستخرج با نام « دانشگاه صنعتی شاهرود » و یا « Shahrood University of Technology » به چاپ خواهد رسید .
- حقوق معنوی تمام افرادی که در به دست آمدن نتایج اصلی پایان نامه تأثیرگذار بوده اند در مقالات مستخرج از پایان نامه رعایت می گردد .
- در کلیه مراحل انجام این پایان نامه ، در مواردی که از موجود زنده (یا بافت‌های آنها) استفاده شده است ضوابط و اصول اخلاقی رعایت شده است .
- در کلیه مراحل انجام این پایان نامه، در مواردی که به حوزه اطلاعات شخصی افراد دسترسی یافته یا استفاده شده است اصل رازداری ، ضوابط و اصول اخلاق انسانی رعایت شده است .

امضا دانشجو

تاریخ

مالکیت نتایج و حق نشر

- کلیه حقوق معنوی این اثر و محصولات آن (مقالات مستخرج ، کتاب ، برنامه های رایانه ای ، نرم افزار ها و تجهیزات ساخته شده است) متعلق به دانشگاه صنعتی شاهرود می باشد . این مطلب باید به نحو مقتضی در تولیدات علمی مربوطه ذکر شود .
- استفاده از اطلاعات و نتایج موجود در پایان نامه بدون ذکر مرجع مجاز نمی باشد .

چکیده

امروزه ارسال اطلاعات میان فرستنده و گیرنده به روش مکانیک کوانتومی کانون توجه دانشمندان و محققان است. در این مسیر، تلاش برای امنیت هرچه بیشتر اطلاعات بسیار حائز اهمیت است. اولین پروتکل مشهور به **BB84** بر پایه‌ی اندازه‌گیری مشاهده‌پذیرهای کوانتومی پادجایه‌جاپذیر (از ویژگی‌های بنیادی فیزیک کوانتومی) بنا شده است. در این پایان نامه، با بکارگیری یکی از ویژگی‌های جهان کوانتومی به نام وابستگی به زمینه که در متناقض نمای کوشن-اسپکر متبلور شده است، امنیت سیستم افزایش می‌یابد. حتی اگر دستگاههایی که تولید آمار می‌کنند مطمئن نباشند. این متناقض-نمای، شامل توزیع‌های احتمال دوتایی است که به طور موضعی شرایط متناقض نمای کوشن-اسپکر را نشان می‌دهند و علاوه بر آن، همبستگی‌های کامل را هم معرفی می‌کند. در ادامه یک نامساوی بل جدید، شامل همبستگی‌هایی قوی‌تر از همبستگی‌های کوانتومی طراحی می‌شود و با نقض آن بازه‌ای برای بررسی حضور یا عدم حضور استراق سمع کننده تعیین می‌کنیم. به علاوه، پس از بررسی نویز آستانه، نرخ محربانه بودن کلید را بدست می‌آوریم.

كلمات کلیدی: غیرموضوعیت- اطلاعات کوانتومی- همبستگی کوانتومی- درهم‌تنیدگی کوانتومی- اندازه‌گیری کوانتومی- وابستگی به زمینه- توزیع کلید کوانتومی

مقالات مستخرج از این پایان‌نامه

۱. کنفرانس فیزیک سالانه ایران "مزیت‌های پروتکل توزیع کلید کوانتومی شش-حالته در مقایسه با پروتکل توزیع کلید کوانتومی چهار-حالته"

فهرست مطالب

۱	فصل اول: تاریخچه‌ی رمزنگاری
۲	۱-۱ مقدمه
۹	فصل دوم: تعاریف و مفاهیم
۱۰	۱-۲ مقدمه
۱۰	۲-۲ نظریه اطلاعات کوانتومی
۱۳	۳-۲ آنتروپی شرطی و اطلاعات متقابل
۱۴	۱-۳-۲ آنتروپی شرطی
۱۵	۲-۳-۲ اطلاعات متقابل
۱۷	۴-۲ کیوبیت
۱۸	۵-۲ درهم‌تنیدگی
۲۱	۶-۲ توزیع کلید کوانتومی (QKD)
۲۳	۷-۲ تکشیرناپذیری
۲۵	۸-۲ عدم علامت دهی
۲۷	۹-۲ کره بلاخ
۲۸	فصل سوم: معرفی چند پروتکل مهم
۳۳	۱-۳ مقدمه
۳۴	۲-۳ پروتکل BB84
۳۵	۳-۳ پروتکل ایکرت
۳۹	۴-۳ پروتکل BBM
۴۵	فصل چهارم: پروتکل مستقل از دستگاه
۴۶	۱-۴ مقدمه
۴۶	۲-۴ پروتکل مستقل از دستگاه
۴۷	۳-۴ جعبه‌های پرس-مرمین
۵۱	۴-۴ تصادفی ذاتی از جعبه PM توزیع شده ایده آل
۶۴	۴-۵ ایمنی کلید در جعبه ایده آل
۶۹	۴-۶ حالت نویزی
۷۸	۷-۴ بررسی ایمنی بدست آمده با به کارگیری مکانیک کوانتومی
۷۹	نتیجه گیری و پیشنهادات
۸۰	منابع

فهرست شکل‌ها

شکل(۱-۲) ارتباط میان آنتروپی شرطی و اطلاعات متقابل	۱۶
شکل(۲-۲) دوران پایه‌های سیستم.....	۲۴
شکل(۳-۲) \bar{N} بردار کروی در کره بلخ	۳۱
شکل (۱-۳) مشاهده پذیرهای فرستنده و گیرنده در پروتکل BB84	۳۵
شکل(۲-۳) مشاهده پذیرهای پروتکل ایکرت	۳۹
شکل(۳-۳) مشاهده پذیرهای انتخابی در نامساوی بل	۴۰
شکل(۴-۳) مشاهده پذیرهای انتخابی در پروتکل B92	۴۲
شکل(۱-۴) ماتریس 3×3 مربوط به مشاهده پذیرها	۴۸
شکل(۲-۴) ارتباط میان آلیس و باب در پروتکل مستقل از دستگاه	۵۲
شکل(۳-۴) ارتباط میان آلیس و باب در پروتکل مستقل از دستگاه برای استخراج نامساوی بل	۵۴

فهرست جداول

۳۶.....	جدول(۱-۳) نحوه‌ی محاسبه‌ی کلید در پروتکل BB84
۴۴.....	جدول(۲-۳) نحوه‌ی محاسبه‌ی کلید در پروتکل B92
۴۹.....	جدول (۱-۴) جدول ماتریس‌های پائولی در متناظر نمای کوشن-اسپکر

فصل اول:

تاریخچه‌ی رمزنگاری

رمزنگاری^۱ (کریپتوگرافی) دانشی است که به بررسی و شناخت اصول و روش‌های انتقال یا ذخیره‌ی اطلاعات به صورت امن (حتی اگر مسیر انتقال اطلاعات و کانال‌های ارتباطی یا محل ذخیره اطلاعات نامن باشند) می‌پردازد [۲]. کریپتوگرافی دانش تغییر دادن متن پیام یا اطلاعات به کمک کلید رمز و با استفاده از یک الگوریتم رمز است، به صورتی که تنها شخصی که از کلید و الگوریتم مطلع است، قادر به استخراج اطلاعات اصلی از اطلاعات رمزی شده می‌باشد و شخصی که از یکی یا هر دوی آن‌ها اطلاع ندارد، نمی‌تواند به اطلاعات دسترسی پیدا کند. دانش رمزنگاری بر پایه‌ی مقدمات بسیاری، از قبیل تئوری اطلاعات، نظریه اعداد و آمار بنا شده است و امروزه به طور خاص در علم مخابرات مورد بررسی و استفاده قرار می‌گیرد. لغت کریپتوگرافی برگرفته از لغات یونانی کریپتوس^۲ و گرافین^۳ است.

رمزنگاری پیشینه‌ای طولانی و درخشنان دارد که به هزاران سال قبل برمی‌گردد. متخصصین رمزنگاری بین رمز و کد تمایز قائل می‌شوند. رمز عبارتست از تبدیل کاراکتر به کاراکتر یا بیت به بیت، بدون آن که به محتویات زبان شناختی آن پیام توجه شود. در صورتی که، کد تبدیلی است که کلمه‌ای را با یک کلمه یا علامت دیگر جایگزین می‌کند. امروزه از کدها استفاده‌ی چندانی نمی‌شود، اگر چه استفاده از آن، پیشینه‌ی طولانی و پرسابقه‌ای دارد. موفق‌ترین کدهایی که تاکنون نوشته شده، توسط ارشد ایالات متحده ابداع شد و در خلال جنگ جهانی دوم بکار گرفته شد. فنون رمزنگاری موجود به دو دسته‌ی سنتی و نوین تقسیم می‌شوند [۱]. رمزنگاری سنتی که در زمان‌های گذشته مورد استفاده قرار می‌گرفت، شامل شیوه‌های دستی ساده‌ای مانند تغییر ترتیب حروف و یا عوض کردن یک سری از حروف با حروف دیگر بود. در مقابل، فنون جدید از کامپیوترهایی که توانایی به کارگیری الگوریتم‌های پیچیده را دارا هستند، استفاده می‌کنند. علاوه بر این، کامپیوترها می‌توانند هر

¹Cryptography

²Kryptos

³Grapphien

نوع داده‌ای را که قابل نمایش دادن به صورت دودویی^۱ باشند، رمزگذاری کنند. برخلاف روش‌های سنتی که تنها به متن‌های نوشتاری محدود می‌شدند.

با توجه به پیدایش شبکه‌های ارتباطی مانند اینترنت، ایمیل و تلفن‌های همراه که در آن‌ها از طریق یک کanal عمومی اطلاعات مهم سیاسی، تجاری، مالی و شخصی مبادله می‌شود، علم رمزنگاری از اهمیت روزافزونی برخوردار گردیده است.

دو نوع کلید رمزنگاری کلاسیک نوین به نام رمزنگاری کلید عمومی(PKC)^۲ و سرّی یا خصوصی(SKC)^۳ وجود دارد. رمزنگاری هنر ابداع کدها و الگوریتم‌هاست. در رمزنگاری اطلاعات توسط یک الگوریتم رمزگذاری و توسط یک الگوریتم دیگر رمزگشایی می‌گردد، که پنهان ماندن اطلاعات به امن بودن هر دو مرحله بستگی دارد. در روش رمزنگاری کلید سرّی این الگوریتم‌ها اعلام عمومی می‌شوند، بدون این که امنیت متن در معرض خطر قرار گیرد. به این ترتیب که در این روش یک کلید سرّی (یا دو کلید که به سادگی از روی هم قابل محاسبه باشند) بین دو استفاده‌کننده به اشتراک گذاشته می‌شود و به همراه الگوریتم‌ها برای تبدیل متن به رمز و بازگرداندن آن به حالت عادی مورد استفاده قرار می‌گیرد. یک کلید مجموعه‌ای از پارامترها است که سرّی ماندن آن مهم‌ترین مساله در سرّی ماندن پیام در این روش است. اما مساله‌ای اصلی در این روش مبادله‌ی یک کلید سرّی است، به این ترتیب که یا دو فرد باید با هم ملاقات کنند که بر سر یک کلید توافق کنند، که روش مناسبی در اغلب موارد نیست، یا باید از طریق یک کanal ارتباطی سرّی با هم تماس برقرار کنند، که با توجه به حجم بالای تعداد افرادی که تمایل به فرستادن اطلاعات دارند ایجاد کanal‌های سرّی به تعداد زیاد عملای غیرممکن است و اگر هم باشد به هر حال سختی ورود به این کanal به معنی غیرممکن بودن آن نیست. بنابراین تغییراتی در علم کامپیوتر بوجود آمد. نقطه شروع این دگرگونی در

¹binary

²Public key channel

³Secret key channel

سال ۱۹۳۶ توسط آلن تورینگ^۱ بود که به عنوان پدر علم محاسبه‌ی نوین و علم رایانه شناخته شده است و مهمترین جایزه‌ی علمی رایانه به افتخار او، جایزه تورینگ نام گرفته است. او مدلی برای محاسبات ارائه داد، این مدل به عنوان ماشین تورینگ مشهور است. او به کمک ماشین تورینگ فرمولاسیون موثری برای روش الگوریتم و محاسبه تهیه کرد و با کمک آزمایش تورینگ، سهم مؤثر و محركی در زمینه‌ی هوش مصنوعی ارائه داد. او با معرفی ماشین تورینگ، یک مدل ریاضی برای تحلیل توانایی‌های ذاتی الگوریتم‌ها بنیان گذاشت. به همین دلیل ماشین تورینگ یکی از عناصر اصلی در نظریه محاسبات و نظریه پیچیدگی است.

در سال ۱۹۴۶ ساخت افزار کامپیوترا کشف ترانزیستور توسط جان باردین^۲، والتر براتین^۳ و ویلیام شاکلی^۴ جهش بزرگی کرد[۱]. پیشرفت و رشد ساخت افزار همچنان با سرعت ادامه دارد، به طوری که گوردن مور^۵ در مقاله‌ی مشهور خود در آوریل ۱۹۶۵، در ژورنال الکترونیک نوشت: "مدارهای مجتمع منجر به شگفتی‌هایی بزرگ همچون رایانه‌های خانگی یا حداقل ترمیمال‌های متصل به یک رایانه‌ی مرکزی، کنترل‌های خودکار برای اتومبیل‌ها، و تجهیزات ارتباطی قابل حمل شخصی خواهند شد". او در این رابطه نظریه‌ای داد که به قانون مور مشهور گردید، پیش‌بینی او در سال ۱۹۶۵ میلادی در مورد دو برابر شدن شمار ترانزیستورهای به کار رفته در یک تراشه در هر سال و به بیان دیگر، دو برابر شدن قدرت تراشه‌ها، "قانون مور"، نام گرفته است. او ده سال پس از آن، با توجه به دگرگونی‌های پدید آمده در فناوری نیمه‌هادی‌ها، آن قانون را به روز کرد و به دو برابر شدن قدرت تراشه‌ها در هر دو سال نظر داد. این روند کما بیش در سال‌های پس از آن نیز ادامه داشت، تا آنجا که سنجه‌ای برای پیش‌بینی آینده‌ی صنعت میکروالکترونیک شد و کم کم نام قانون به خود گرفت. به مرور زمان، آن عدد دو برابر برای هر سال، دستخوش دگرگونی گردید و به دو برابر برای هر هجده ماه رسید.

¹Alien Turing

²John Bardin

³Walter Brattain

⁴William Shockley

⁵Gordon Moore

این دو برابر شدن شمار ترانزیستورها به معنای این است که ابعاد ترانزیستورها در حال اتمی شدن است و با شتاب به جایی خواهیم رسید که محدودیت‌های فیزیکی، اجازه‌ی این شدن ابعاد را نخواهند داد. این یعنی نزدیک شدن به پایان قانون مور، هر چند شاید این قانون تا حدود ده سال دیگر همچنان با ارزش بماند اما مردم به دنبال راه حل‌های دیگری هستند تا بدون رسیدن به ابعاد اتمی، سرعت و توانایی کامپیوترهای کلاسیکی را بالا ببرند. یک راه این مشکل کشف الگوریتم‌های متفاوتی برای محاسبات است که توانایی بالاتری نسبت به الگوریتم‌های کلاسیکی دارند. الگوریتم‌های با اینمی بالا توسط محاسبات کوانتومی انجام می‌شود که بر پایه ایده‌ی استفاده از مکانیک کوانتومی در انجام محاسبات است.

وقتی اندازه ترانزیستورهایی که متخصصان می‌سازند به ابعاد اتمی نزدیک می‌شود، دیگر قوانین حاکم بر فیزیک کلاسیک بر رفتار اتم‌ها حاکم نیست. به طور مثال کسی نمی‌داند یک الکترون در یک زمان مشخص دقیقاً در کجا قرار دارد یا کسی نمی‌تواند به درستی تشخیص دهد که الکترون در یک سیم به کجا می‌رود. یعنی وقتی به ابعاد اتمی نزدیک می‌شویم، فیزیک کوانتومی رفتار اتم‌ها را توضیح می‌دهد و دیگر قوانین کلاسیک کاربرد ندارد. در واقع کامپیوترهای نسل آینده با استفاده از فناوری‌های میکروسکوپیک ذره‌ها کار می‌کنند، به طور مثال در مورد الکترون از خاصیت اسپین آنها و در تابش از خاصیت پولاریزاسیون و غیره استفاده می‌کنند. به همین دلیل است که سرعت و حجم این کامپیوترها با کامپیوترهای امروزی قابل قیاس نیست.

نخستین ایده‌ها در مورد کامپیوترهای کوانتومی به دهه ۱۹۸۰ برمی‌گردد. در آن زمان دانشمندانی همچون دیوید دویچ^۱ و ریچارد فایمن^۲ با ارائه مقاله‌هایی از لحاظ نظری به توصیف کامپیوترهای کوانتومی پرداختند، ولی دستیابی متخصصان به جنبه‌های عملی آن امکان پذیر نشد.

¹ David Deutch

² Richard Feynman

تا آنکه در نهایت در نوامبر ۱۹۹۴، پیتر شور^۱ با طراحی یک الگوریتم کوانتومی که بعدها به الگوریتم شور معروف شد، تا حد زیادی جهان را در دستیابی به کامپیوترهای کوانتومی نزدیک‌تر کرد. براساس این روش می‌توان با استفاده از کامپیوترهای کوانتومی یک عدد را با سرعت فوق العاده‌ای به مقسوم علیه‌های اول آن تجزیه کرد. اگر برای انجام عمل ریاضی مشابهی از کامپیوترهای فعلی استفاده کنیم، با افزودن هر رقم به عدد مورد نظر سرعت کامپیوتر برای حل مسئله به نصف کاهش می‌یابد. قدرت ریاضی الگوریتم شور دانشمندان زیادی را به فکر انداخت تا برای پیدا کردن الگوریتم‌های کوانتومی دیگر یا یافتن روش‌های عملی اجرای این الگوریتم‌ها فعالیت کنند[۱۳].

پی‌آمد این فعالیتها در نهایت در سال ۱۹۷۶ به عنوان روشی درمقاله‌ی وايت فیلد^۲ و مارتین هلمن^۳ معرفی شد که برای رفع مشکل توزیع کلید رمزگاری بود. در این روش از دو کلید متفاوت، اما از نظر ریاضی مرتبط استفاده می‌شود: کلید عمومی و خصوصی.

کلید عمومی که در مرحله‌ی رمزگذاری استفاده می‌شود، می‌تواند در اختیار عموم قرار گیرد، ولی کلید خصوصی که برای رمزگشایی استفاده می‌شود، باید سری بماند. برای مثال سیستم RSA یک نمونه از PKC است، که در آن فردی که می‌خواهد پیامی دریافت کند باید دارای یک جعبه پیام(جعبه میل^۴) با دو قفل باشد . صاحب جعبه پیام یک کلید برای انداختن پیام به داخل جعبه منتشر می‌کند، ولی تنها خود او کلید باز کردن جعبه و خواندن پیام‌ها را دارد. این روش از دو تبدیل متقابلاً عکس هم استفاده می‌کند که در آن انجام عملیات ریاضی از یک سو بسیار ساده‌تر از سوی دیگر است. به این ترتیب کلید عمومی به شکلی طراحی می‌شود که محاسبه‌ی کلید خصوصی از روی آن عملاً غیرممکن باشد. بنابراین در این روش استفاده‌کنندگان نیاز ندارند که بر سر یک کلید سری توافق کنند و این روش به علت دشواری محاسبه‌ی کلید خصوصی است.

¹ Peater Shor

² Whitfield Diffe

³ Martin Hellman

⁴ Mail box

رمزنگاری کوانتومی اولین بار توسط استفان وینسون^۱ در اوایل دهه‌ی ۱۹۷۰ ارائه شد، که مقاله‌ی اوی در این زمینه در سال ۱۹۸۳ به چاپ رسید^[۱] و در سال ۱۹۸۴ اولین پروتکل رمزنگاری کوانتومی توسط بنت^۲ و براسارد^۳ ارائه شد و آن به نام **BB84** مشهور شد،^{[۶][۱۴]} پس از آن در سال ۱۹۹۱ یک دانشجوی دوره‌ی دکتری دانشگاه آکسفورد به نام آرتور ایکرت^۴ روش دیگری برای رمزنگاری کوانتومی ارائه داد. و پس از او در سال ۱۹۹۲ بنت، براسارد و مرمن^۵ پروتکلی پیشرفته‌تر نسبت به آنچه در سال ۱۹۸۴ ارائه شد، معرفی کردند. این طرح با نام **BBM** یا **B92** نام گرفت. بارت^۶، هارדי^۷ و کنت^۸ پس از مطالعه‌ی این طرح، توانستند پروتکل رمزنگاری با استفاده از اصول فرا کوانتومی طراحی کنند [۲]. این طرح یک پیشرفت در دنیای رمزنگاری کوانتومی بود به طور کلی پروتکل‌های تولید شده‌ی اخیر بسیار مورد توجه هستند و برای تکنولوژی مدرن بسیار مهم است.

با پدید آمدن رایانه‌ها و افزایش قدرت محاسباتی آنها، دانش رمزنگاری وارد حوزه‌ی علوم رایانه‌ای گردید و این پدیده، موجب بروز سه تغییر مهم در مسائل رمزنگاری شد:

وجود قدرت محاسباتی بالا این امکان را پدید آورد که روش‌های پیچیده‌تر و مؤثرتری برای رمزنگاری به وجود آید.

روش‌های رمزنگاری که تا قبل از آن اصولاً برای رمزی کردن پیام به کار می‌رفتند، کاربردهای جدید و متعددی پیدا کردند. تا قبل از آن، رمزنگاری عمدتاً روی اطلاعات متنی و با استفاده از حروف الفبا انجام می‌گرفت، اما ورود رایانه باعث شد که رمزنگاری روی انواع اطلاعات و بر مبنای بیت انجام شود.

¹Stephen Wiesner

²bennett

³brassard

⁴Artur Ekert

⁵Mermin

⁶Barrett

⁷Hrdy

⁸Kent

در فصل بعد مختصری راجع به مفاهیم مهم در جهان محاسبات کوانتومی می‌پردازیم که ما را بر مطالب اصلی مشرف می‌سازد. در فصل سوم به بررسی چند پروتکل که از پیش ارائه شده است و در اینجا به آنها اشاره شد، می‌پردازیم. در فصل آخر مطالب اصلی پایان‌نامه مطرح خواهد شد.

فصل دوم

تعاريف و مفاهيم

۱-۲ مقدمه

در این فصل به مفاهیم مهم کوانتومی که با علم کامپیوتر عجین شده است، می‌پردازیم. اساس این شاخه از علم، محاسبه‌ی اطلاعات در سیستم‌ها به روش کوانتومی است. پس از بررسی قانون دوم ترمودینامیک توسط ماکسول این دگرگونی‌ها در علم کامپیوتر پدید آمد. همانطور که می‌دانیم قانون دوم ترمودینامیک می‌گوید، اگر گاز را در جعبه‌ای دو قسمتی شامل قسمت‌های a و b محبوس کنیم، آنگاه مولکول‌های گاز با سرعت از قسمت a به b و کنتر از b به a می‌روند. پس a سرد و b گرم است. جریان گرم از یک محیط سرد به محیط گرم هزینه بردار است[۶]. به همین دلیل در ترمودینامیک آموختیم که گرما از دست می‌دهیم فرایند برگشت‌ناپذیر است. در گیت‌های دو ورودی کامپیوترها که تک خروجی هستند، فرایند برگشت‌ناپذیر اتفاق می‌افتد چرا که در این گیت‌ها برای اینکه از دو ورودی یک خروجی داشته باشیم یک بیت از بین می‌رود و بدین ترتیب در فضای مربوطه دو درجه‌ی آزادی از دست می‌دهیم و به اندازه‌ی $k \ln \Omega$ – گرما از بین رفته و آنتروپی تغییر می‌کند. پس با توجه به گزارش ترمودینامیک و اطلاعات، ما به رابطه‌ای میان آنتروپی و ضبط اطلاعات میرسیم. به همین دلیل در ادامه به معرفی نظریه اطلاعات می‌پردازیم.

۲-۲ نظریه اطلاعات کوانتومی^۱

برای مطالعه‌ی نظریه اطلاعات کوانتومی ابتدا به دنبال این هستیم که چگونه اطلاعات را کمی کنیم. کمی‌سازی اطلاعات با مفهومی به نام آنتروپی انجام می‌پذیرد که به نوعی به اندازه‌گیری بی‌نظمی در سیستم‌ها می‌پردازد. اطلاعات در نقطه‌ی مقابل بی‌نظمی است. آنتروپی حجم اطلاعات را درون یک سیگنال مشخصه‌بندی می‌کند و تعداد بیت لازم برای انتقال یک سیگنال مطمئن را مشخص می‌کند. حال ما به دنبال یافتن ارتباط میان پردازش اطلاعات کوانتومی و آنتروپی هستیم. محاسبات کوانتومی یک راه جدید پردازش اطلاعات است به همین دلیل متدهای قدیمی و پردازش اطلاعات، به اطلاعات

^۱ Quantum Information Theory

کلاسیکی شبیه هستند. برای این موضوعات جدید، ابتدا چگونگی دسته بندی اطلاعات را بررسی می‌کنیم. یکی از پایه‌های مهم در اطلاعات، بیت نام دارد که تنها می‌تواند مقدار ۰ و ۱ را بپذیرد. حال اگر در یک سیستم دوتایی، تعداد m حالت برای n بیت داشته باشیم، در این صورت می‌توان

گفت:

$$m \leq 2^n \quad \Rightarrow \quad n \geq \log_2 m \quad (1-2)$$

رابطه‌ی بالا توسط هارتلی^۱ در سال ۱۹۲۷ ارائه شد و این اولین تلاش در تعیین مقدار یک کمیت برای میزان اطلاعات در یک پیام بود. مثلاً می‌گوید که n بیت می‌تواند به m پیام متفاوت دسته‌بندی شود [۲].

روش هارتلی روشه‌ی اساسی در مشخصه‌بندی حجم اطلاعات درون یک سیگنال است. اما روش دیگری که شانون^۲ نامیده می‌شود به ما کمک می‌کند که حجم اطلاعات درون یک سیگنال را با دقت بالاتری مشخصه‌بندی کنیم. آنچه این روش را بسیار متمایز می‌سازد این است که، این روش به محاسبه‌ی اطلاعات با بیانی احتمالی می‌پردازد. بدین ترتیب می‌توانیم به طور دقیق از یک سیگنال، اطلاعاتی را به دست آوریم. احتمالات با لگاریتمی در مبنای ۲ تعیین می‌شود. اگر I نماد حجم اطلاعات باشد و احتمال وقوع ρ باشد، آنگاه اطلاعات را به صورت زیر بدست می‌آوریم:

$$I = -\log_2 \rho \quad (2-2)$$

و علامت - نشان می‌دهد که اطلاعات مثبت است و از این فرمول چنین استنباط می‌شود که کمترین احتمال وقوع یک پیام، بیشترین اطلاعات را نتیجه می‌دهد. بنابراین به طور خلاصه، از لگاریتم در

¹ Hartly

² Shannon

مشخصه‌بندی اطلاعات در یک سیگنال استفاده می‌کنیم و این را نظریه اطلاعات شانون^۱ می-

نامیم^[۱,۲]. حال به بررسی کامل نظریه اطلاعات شانون می‌پردازیم:

مفهوم کلیدی نظریه اطلاعات کلاسیکی، آنتروپی شانون است. اگر ما مقدار x را ندانیم و آنتروپی شانون x ، مقدار غیر قطعی اطلاعات را بدست می‌آورد.

ما معمولاً آنتروپی را به عنوان یک تابع توزیع احتمال می‌نویسیم. آنتروپی شانون را با این توزیع احتمال که به صورت زیر تعریف شده، می‌نویسیم:

$$H(x) \equiv H(p_1, \dots, p_n) \equiv -\sum_x p_x \log p_x \quad (3-2)$$

به طور قراردادی آنتروپی را با تبدیل شدن به \log در بیتها اندازه می‌گیریم. اکنون چرا آنتروپی را تعریف کرده‌ایم؟ بهترین علت برای تعریف آنتروپی آن است که از آن در مشخص شدن ذخایری که برای ذخیره‌ی اطلاعات احتیاج داریم، استفاده می‌کنیم. مثلاً فرض کنیم تعدادی منبع (مثل یک آتنا رادیویی) که اطلاعات را دسته‌بندی می‌کند، به صورت یک رشته بیت داشته باشیم، اگر به عنوان یک رشته x_1, x_2, \dots مستقل، متغیرهای تصادفی همسان توزیع شده است، با استفاده از آنتروپی شانون بهترین وسیله برای بدست آوردن کمترین منابع اطلاعاتی که برای دسته‌بندی اطلاعات تولید شده در منبع احتیاج داریم، آنتروپی است که به صورت بیتها لازم تقسیم بر نمونه‌ی منبع تعریف می‌شود.

$$H(x) \equiv H(x_1) = H(x_2) = \dots$$

این مطلب به عنوان تئوری برنامه‌نویسی نویزی شانون شناخته شده است که برای هر دو نوع کلاسیکی و کوانتومی کاربرد دارد. به عنوان مثال فرض می‌کنیم که یک منبع اطلاعاتی \mathcal{A} نمونه دارد که عبارتند از ۱ و ۲ و ۳ و ۴ و به ترتیب متناظر با چهار علامت با احتمالات زیر است یعنی ۱،

احتمال $\frac{1}{2}$ و $\frac{1}{2}$ با احتمال $\frac{1}{4}$ و $\frac{1}{4}$ با احتمال $\frac{1}{8}$. برای طرح متراکم‌سازی اطلاعات آن‌ها را به

^۱ Shannon Information Theory

صورت رشته بیت‌ها معرفی می‌کنیم به این صورت که رشته بیت اول، ۰ و رشته بیت دوم، ۱۰ و رشته بیت سوم، ۱۱۰ و رشته بیت چهارم، ۱۱۱ است. برای فشرده سازی اطلاعات با استفاده از

احتمال و طول رشته بیت‌ها خواهیم داشت:

$$\frac{1}{2} \times 1 + \frac{1}{4} \times 2 + \frac{1}{8} \times 3 + \frac{1}{8} \times 3 = \frac{7}{4}!$$

و پس از محاسبه‌ی آنتروپی شانون می‌توان دید:

$$-\frac{1}{2} \log\left(\frac{1}{2}\right) - \frac{1}{4} \log\left(\frac{1}{4}\right) - \frac{1}{8} \log\left(\frac{1}{8}\right) - \frac{1}{8} \log\left(\frac{1}{8}\right) = \frac{7}{4}! = H(x)$$

به طور شگفت‌انگیزی با هم برابر خواهند بود. به هر حال در فشرده‌سازی اطلاعات منبع نتیجه می‌شود که اطلاعات به طور شهودی گم می‌شوند و این انگیزه‌ای برای اندازه‌گیری اطلاعات با استفاده از آنتروپی هم به طور کلاسیکی و هم به طور کوانتموی است. در زیر به آنتروپی شرطی و اطلاعات متقابل که بسیار حائز اهمیت است، می‌پردازیم [۱] و [۳] و [۴].

۳-۲ آنتروپی شرطی و اطلاعات متقابل

فرض کنید X و Y دو متغیر تصادفی هستند. چگونه اطلاعات محتوی X با اطلاعات محتوی Y ارتباط دارند؟ در این بخش دو مفهوم را معرفی می‌کنیم، آنتروپی شرطی و اطلاعات متقابل که ما را در جواب به این سوال کمک می‌کند.

۱-۳-۲ آنتروپی شرطی

آنتروپی توامان^۱ را برای یک جفت متغیر تصادفی X و Y به صورت زیر تعریف می‌کنیم:

$$H(X, Y) \equiv -\sum_{x,y} p(x, y) \log_2 p(x, y) \quad (4-2)$$

که $p(x, y) = p(x)p(y|x)$ است. البته این تعریف برای هر متغیر تصادفی در فضای برداری قابل بسط است. آنتروپی توامان، مقادیر غیر قطعی را برای جفت X و Y تعریف می‌کند. فرض کنید ما مقدار Y را می‌دانیم. بنابراین، $H(Y)$ بیت اطلاعاتی دربارهٔ Y است. این بیت اطلاعاتی دربارهٔ Y از X و Y احتیاج نداریم و اطلاعات باقیماندهٔ Y را غیر قطعی دربارهٔ X و Y با اطلاعات باقیماندهٔ گم شدهٔ دربارهٔ X عجین شده است، حتی با توجه به آنکه Y را می‌دانیم، آنتروپی X به شرط دانستن Y نهایتاً با استفاده از تعریف آنتروپی زنجیری به صورت زیر به دست می‌آید. متغیر تصادفی X را با مقدار x و Y را با مقدار y در نظر می‌گیریم.

آنتروپی شرطی Y برای X به صورت زیر خواهد شد:

$$\begin{aligned} H(Y|X) &\equiv \sum_{x \in X} p(x) H(Y|X=x) \\ &= -\sum_{x \in X} p(x) \sum_{y \in Y} p(y|x) \log p(y|x) \\ &= -\sum_{x,y} p(x, y) \log p(y|x) \\ &= -\sum_{x,y} p(x, y) \log \frac{p(x, y)}{p(x)} \\ &= -\sum_{x,y} p(x, y) \log p(x, y) + \sum_x p(x) \log p(x) \\ &= H(X, Y) - H(X) \end{aligned} \quad (5-2)$$

¹ Joint entropy

آنتروپی شرطی ($H(X|Y)$) آن دسته از اطلاعات است که می‌توان در صورت دانستن Y ، درباره X بدست آوریم به عبارتی آنتروپی شرطی، اطلاعات باقیمانده را مشخص می‌کند.

۲-۳-۲ اطلاعات متقابل

کمیت دومی که به توصیف آن می‌پردازیم حجم اطلاعات متقابل X و Y است که اطلاعات مشترک میان X و Y را اندازه می‌گیرد. فرض کنید ما حجم اطلاعات X را به حجم اطلاعات Y اضافه می‌کنیم. اطلاعاتی که میان X و Y مشترک هستند دوباره شمرده می‌شوند و آنها که مشترک نیستند به طور قطع یکبار شمرده می‌شوند. اطلاعات مشترک کاهیده شده میان X و Y را ($H(X,Y)$ می‌نامیم، بنابراین اطلاعات متقابل یا مشترک میان X و Y را اینگونه تعریف می‌کنیم:

$$I(X : Y) \equiv H(X) + H(Y) - H(X, Y) \quad (6-2)$$

که معادله‌ی بالا از جایگذاری معادله‌ی (۵-۲) در معادله‌ی $I(X : Y) = H(X) - H(X|Y)$ بدست آمده است و در ارتباط با آنتروپی شرطی و اطلاعات متقابل است. برای بررسی چگونگی رفتار آنتروپی، ما اکنون تعدادی از روابط ساده میان آنتروپی‌های مختلف را بررسی می‌کنیم [۱] و [۳] و [۴].

خصوصیات اصلی آنتروپی شانون عبارتند از:

$$H(X, Y) = H(Y, X) \quad \text{و} \quad I(X : Y) = I(Y : X) \quad (1)$$

و بنابراین $I(X : Y) \leq H(Y)$ و با تساوی اگر و فقط اگر Y یک تابع از X باشند،

$Y = f(X)$ یعنی:

$H(X) \leq H(X, Y)$ با تساوی اگر و فقط اگر Y یک تابع از X باشد. (۳)

(۴) برای تساوی اگر و فقط اگر X و Y متغیرهای تصادفی مستقل $H(X,Y) \leq H(X) + H(Y)$

باشند.

(۵) و بنابراین $I(X : Y) \geq 0$, برای تساوی در هر کدام اگر و فقط اگر X و Y

متغیرهای تصادفی مستقل باشند.

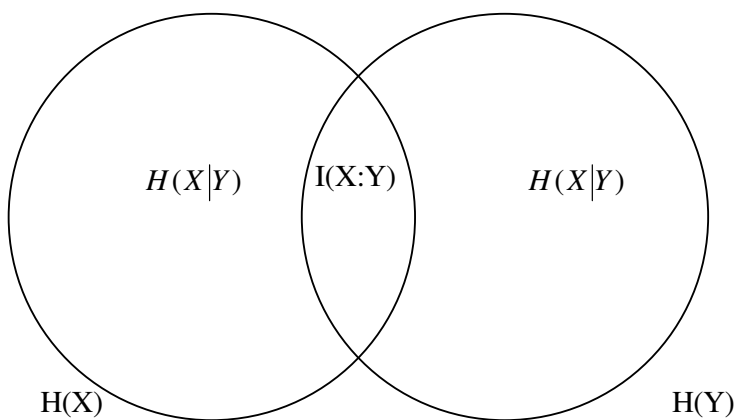
(۶) برای تساوی اگر و فقط اگر $Z \rightarrow Y \rightarrow X$ به شکل $H(X,Y,Z) + H(Y) \leq H(X) + H(Y,Z)$

زنجیره‌ی ماکوف.

$$H(X|Y,Z) \leq H(X|Y) \quad (7)$$

شکل زیر نمودار آنتروپی Venn نام دارد که به طور کامل نمی‌تواند خصوصیات متفاوت آنتروپی را به

ما آموزش دهد اما باعث به خاطر سپردن و یادآوری آسان آن‌ها می‌شود



شکل(۲) ارتباط میان آنتروپی شرطی و اطلاعات متقابل

خصوصیات ابتدایی آنتروپی شرطی و اطلاعات متقابل شامل قانون مهم و مفید و ساده‌ی زنجیره‌ای

می‌شود [۱] و [۲] و [۳].

$$H(X_1, \dots, X_n | Y) = \sum_{i=1}^n H(X_i | Y, X_1, \dots, X_{i-1}) \quad \text{اگر } Y, X_1, X_2, \dots, X_n \text{ متغیرهایی تصادفی باشند،}$$

اثبات:

ما برای $n=2$ اثبات را انجام می‌دهیم. تنها با استفاده از تعاریف و جبر ساده خواهیم داشت:

$$\begin{aligned} H(X_1, X_2 | Y) &= \sum_{i=1}^2 H(X_i | Y, X_1, X_2) \\ H(X_1, X_2 | Y) &= H(X_1, X_2, Y) - H(Y) \\ &= H(X_1, X_2, Y) + H(X_1, Y) - H(X_1, Y) - H(Y) \\ &= H(X_2 | X_1, Y) + H(X_1, Y) \end{aligned} \quad (\text{V-۲})$$

اکنون رابطه‌ی بالا را برای n حالت تعمیم می‌دهیم:

$$\begin{aligned} H(X_1, \dots, X_{n+1} | Y) &= \sum_{i=2}^{n+1} H(X_i | Y, X_1, \dots, X_{i+1}) + H(X_1 | Y) \\ &= \sum_{i=1}^{n+1} H(X_i | Y, X_1, \dots, X_{i-1}) \end{aligned} \quad (\text{A-۲})$$

۴-۲ کیوبیت

از قبل گفتیم که، واحد پردازش اطلاعات در کامپیوترهای کلاسیکی بیت است و تابع قوانین کلاسیکی است، به شیوه‌ای مشابه می‌توان یک واحد اصلی پردازش اطلاعات کوانتومی در نظر گرفت که این واحد به محاسبات کوانتومی می‌پردازد و تابع قوانین فیزیک کوانتومی است و آن را کیوبیت^۱ مخفف بیت کوانتومی می‌نامیم. بر خلاف این‌که بیت و کیوبیت در روش‌هایی با هم مشابه هستند اما اساس آنها با هم متفاوت است و به همین دلیل می‌توان برای محاسبات به روش‌های جدید از آن استفاده کرد. کیوبیت هم مثل بیت می‌تواند دو مقدار را بپذیرد. حالت یک کیوبیت به وسیله‌ی یک بردار یکه در فضای برداری دو بعدی روی میدان اعداد مختلط بیان می‌گردد.

$$|\psi\rangle = \begin{pmatrix} a \\ b \end{pmatrix}$$

که پایه‌های ثابت این فضا با $\{|0\rangle, |1\rangle\}$ مشخص می‌شوند. این پایه‌های راست هنچ‌جرا $|0\rangle$ و $|1\rangle$ ممکن است به ترتیب با

¹ qubit

قطبیش‌های فوتون ۰ و ۹۰ درجه و ۴۵ و ۱۳۵ درجه متناظر باشند و یا حتی می‌توانند به حالت‌های

اسپین بالا و پایین الکترون ذرات با اسپین $\frac{1}{2}$ مرتبط باشند و یا اینکه به صورت برهم‌نهشی از دو راستا

باشد. تمام اندازه‌گیری‌ها با توجه به پایه‌های استاندارد برای محاسبات کوانتومی، یعنی $\{|0\rangle, |1\rangle\}$ انجام

می‌شوند. حالت‌های پایه‌ی فضا را با $|0\rangle = \begin{pmatrix} 1 \\ 0 \end{pmatrix}$ و $|1\rangle = \begin{pmatrix} 0 \\ 1 \end{pmatrix}$ کیویستم

به صورت $|a|^2 + |b|^2 = 1$ است که a و b اعداد مختلفی هستند که در رابطه‌ی

صدق می‌کنند که نتیجه‌ی اندازه‌گیری حالت سیستم با احتمال $|a|^2$ ، $|0\rangle$ و نتیجه‌ی اندازه‌گیری

حالت سیستم با احتمال $|b|^2$ ، $|1\rangle$ است.

اساس رمزنگاری کوانتومی و اطلاعات و محاسبات کوانتومی^۱ بر سه مفهوم است:

۲-۵ درهم‌تنیدگی

از مواردی که محاسبات کوانتومی را از محاسبات کلاسیکی به شدت متمایز می‌سازد، درهم‌تنیدگی

کوانتومی است که یکی از ویژگی‌های دنیای کوانتومی است. همبستگی‌های کوانتومی حالت‌های

درهم‌تنیده، هیچ مشابه کلاسیکی ندارد و می‌توان گفت درهم‌تنیدگی از بنیادی‌ترین مفاهیم است که

باعث جدایی فیزیک کوانتومی از فیزیک کلاسیک می‌شود. حالاتی که درهم‌تنیده نیستند را می‌توان

به صورت حاصلضرب حالاتی که یکی فقط به ویژگی‌های سیستم ۱ و یکی فقط به ویژگی‌های سیستم

۲ وابسته است، نوشت اما در حالت‌های دیگر که درهم‌تنیده نامیده می‌شوند، نمی‌توان این‌گونه عمل

کرد [۲]. با استفاده از حالت‌های درهم‌تنیده می‌توانیم کارهای جدیدی را در پردازش اطلاعات انجام

دهیم که در فیزیک کلاسیک غیرممکن است. همچنین می‌توانیم بسیاری از روش‌هایی را که با

استفاده از فیزیک کلاسیک برای پردازش اطلاعات به کار می‌بریم، بهبود بخشیم.

¹ Quantum Information and Computation

² Entangled

برای هر حالت خالص دو قسمتی^۱ می‌توان یک عدد صحیح مثبت به نام عدد اشمت^۲ نسبت داد و برحسب این کمیت می‌توانیم بگوییم در هم تنیده بودن یک حالت خالص دو قسمتی به چه معنی است: اگر عدد اشمت بزرگتر از یک باشد، $\langle \Psi_{AB} | \Psi_{AB} \rangle$ در هم تنیده یا تفکیک‌ناپذیر است و در غیر این صورت تفکیک‌پذیر بوده و غیر در هم تنیده است. در نتیجه یک حالت خالص دو قسمتی تفکیک‌پذیر، ضرب مستقیمی از حالت‌های خالص در فضای H_A و H_B است. هر حالتی که نتوان آن را به صورت یک ضرب مستقیم بیان کرد در هم تنیده نامیده می‌شود [۶][۷][۱]. حالت‌های در هم تنیده به طور طبیعی به عنوان نتیجه‌ای از برهم کنش بین ذرات ایجاد می‌شود مانند حالتی که یک جفت ذره به طور همزمان تحت پاره‌ای از ویژگی‌ها تولید می‌شوند [۸] و هرگاه اندازه‌گیری روی یکی از آن‌ها انجام می‌شود، حالت‌های هر دو ذره تعیین می‌شود و در هم تنیدگی از بین می‌رود [۶][۹]. این ویژگی منجر به ارائه‌ی مقاله‌ی EPR توسط انسیستین و پدولسکی و روزن شد. آن‌ها با انتشار مقاله‌ای^۳ به عنوان (آیا مکانیک کوانتومی می‌تواند به طور قطع حالت یک سیستم را بررسی کند؟) پرداختند [۵]. انسیستین معتقد بود که مکانیک کوانتومی کامل نیست و زمانی می‌توان مقداری برای یک سیستم پیش‌بینی کرد که آن را مشاهده کنیم و یا مقادیر قطعی آن قبل از اندازه‌گیری وجود داشته باشند. حال اگر یک کیوبیت با حالت $|0\rangle$ در نظر بگیریم، آنگاه برای بدست آوردن نتایج اندازه‌گیری $\langle \Psi | \Psi \rangle$ در راستای x ، داریم:

$$|\Psi\rangle = |0\rangle = \frac{|+\rangle + |-\rangle}{2}$$

¹ Bipartite pure state

² Schmidt number

³EPR

$|\Psi\rangle$ در بالا بر حسب ویژه حالت‌های x نوشته شده است. به طوریکه:

$$\begin{aligned} |+\rangle &= \frac{|0\rangle + |1\rangle}{2} \\ \Rightarrow |0\rangle &= \frac{|+\rangle + |-\rangle}{2} \\ |-\rangle &= \frac{|0\rangle - |1\rangle}{2} \end{aligned}$$

با توجه به شرایط اولیه‌ی آزمایش و شناخت محیط و قوانین فیزیک و مکانیک کوانتومی پیش‌بینی

می‌کنیم که نتیجه‌ی اندازه‌گیری اسپین فوتون با احتمال $\frac{1}{2}$ ، $|+\rangle$ و با احتمال $\frac{1}{2}$ ، $|-\rangle$ است. همانطور

که گفته شد در مکانیک کوانتومی تنها می‌توان نتیجه‌ی آزمایش را پیش‌بینی کرد و حالت سیستم

زمانی معلوم می‌شود که اندازه می‌گیریم، اگر یک الکترون را دقیقاً در حالت

$$|\psi\rangle = \frac{1}{\sqrt{2}}(\alpha|\uparrow\rangle + \beta|\downarrow\rangle)$$

این‌ها برای اسپین، یا \uparrow و یا \downarrow بدست می‌آورند اما برای حالات کلاسیکی می‌توان قبل از اندازه-

گیری نتیجه‌ی اندازه‌گیری را حدس زد و این یعنی احتمال اندازه‌گیری در مکانیک کلاسیکی و

مکانیک کوانتومی متفاوت است و علت این تفاوت آن است که ماتریس چگالی احتمال مکانیک

$$\text{کلاسیکی} = \frac{1}{2} \begin{pmatrix} 1 & 1 \\ 1 & 1 \end{pmatrix} \text{ است ولی ماتریس چگالی}^1 \text{ احتمال کوانتومی} = \begin{pmatrix} 1 & 0 \\ 0 & 1 \end{pmatrix}$$

گیری برای حالات کلاسیکی همواره یکسان است اما در مکانیک کوانتومی نتیجه‌ی اندازه‌گیری

متفاوت است. به همین دلیل EPR با توجه به تعاریف کلاسیکی اندازه‌گیری که بر مبنای موضعیت^۲ و

¹ Density Matrix

² locality

واقع‌گرایی^۱ است معتقد بودند که مکانیک کوانتومی ناقص است[۵] و [۴]. به طور خلاصه تعاریف اندازه‌گیری کلاسیکی به صورت زیر هستند:

موضعیت: اندازه‌گیری ذرهی A فقط به خودش وابسته است و به هیچ ذرهی دیگری ارتباط ندارد.

واقع‌گرایی: خصوصیات سیستم به راحتی و روشنی قابل درک است و اندازه‌گیری سیستم از قبل وجود داشته و در هر صورت همان مقدار بدست می‌آید.

دیوید بوهم نظریه‌ی EPR را به گونه‌ی دیگری ارائه داد و علت این موضوع را وجود متغیرهایی معرفی می‌کند که مشاهده نمی‌شوند و به همین علت آنها را متغیرهای مخفی^۲ H نامید. وی گفت اگر حالت سیستم به صورت زیر باشد:

$$|\Psi\rangle = \frac{1}{\sqrt{2}}(|\uparrow\rangle + |\downarrow\rangle) + H$$

و اگر ما بتوانیم متغیرهای مخفی را بدانیم، به راحتی می‌توانیم حالت سیستم را قبل از اندازه‌گیری بدست آوریم. البته این تاکنون غیرممکن بوده است.

یکی دیگر از پیامدهای درهم‌تنیدگی مفهوم توزیع کلید کوانتومی^۳ است که در ادامه به توضیح آن می‌پردازیم.

۲-۵-۱ توزیع کلید کوانتومی (QKD)

ارتباط ایمن میان دوطرف فرستنده و گیرنده‌ی پیام به طوری که هیچ شخص سومی از اطلاعات آن‌ها مطلع نگردد، می‌تواند از طریق توزیع کلید انجام شود که از آن کلید برای بازیابی و رمزگشایی استفاده می‌شود. در حال حاضر کلید رمزگاری تولید شده با استفاده از الگوریتم‌های کوانتومی، روش توزیع کلیدی است که متکی به قوانین فیزیک است. البته نه ۱۰۰ درصد امن اما بسیاری از مزایای آن در مقابل روش‌های قدیمی چشمگیر است[۱] و [۲].

¹ realism

² Hidden variable

³ Quantum Key Distribution

در حال حاضر با کامپیوترهای ۸ بیتی کار می‌کنیم:

$$2^8 = 256 \text{ characters}$$

مثلاً فرض می‌کنیم می‌خواهیم جمله‌ی I am here را از طریق کامپیوتر کوانتومی به صورت سری

بفرستیم و اطلاعات برای هیچ شخص سومی افشا نشود، عبارت را به صورت *Ibam&here* می‌فرستیم.

فرض می‌کنیم در^۱ *ASCII Code* کار می‌کنیم، هر کاراکتر ۸ بیت دارد، هر کدام از این خانه‌ها می-

توانند دو مقدار ۰ و یا ۱ را پذیرند، البته در کامپیوترهای کوانتومی از اسپین استفاده می‌کنند.

اسپین‌های فوتون مدنظر است که که اسپین \uparrow را ۰ و اسپین \downarrow را ۱ می‌نامند.

این رشته‌ی ۸ کاراکتری که شامل ۰ و یا ۱ است را می‌فرستیم. اگر کسی در مسیر این رشته را

دربیافت کند می‌تواند آن را بخواند، پس برای رمزگذاری روی این رشته می‌توان رشته‌ای از ۰ و ۱ به

طور اختیاری در نظر گرفت و از طریق گیت‌های کامپیوتری برای مثال *OR* یا *XOR* رشته‌ی اصلی را

تغییر دهیم. در این صورت رشته‌ی سوم بدست می‌آید که کاملاً عوض شده و سپس این رشته را به

صورت عمومی برای باب می‌فرستیم. این رشته را باب تنها می‌تواند در صورت دانستن رشته‌ی کلی

بخواند و این اساس رمزگاری است. حال در رمزگاری کوانتومی به دنبال توزیع کلید کوانتومی به

صورت فوق محترمانه هستیم زیرا رشته‌های توزیع کلید کلاسیکی پس از نهایتاً ۶ ماه شکسته می‌شود

اما امکان شکستن رشته کلیدهای کوانتومی غیرممکن است.

مثلاً اگر به دنبال ارسال حرف A باشیم، باید رشته بیت مقابله را بفرستیم:

•	۱	•	۰	۰	•	•	۰	۱
---	---	---	---	---	---	---	---	---

برای جلوگیری از افشای پیام رشته بیت زیر را به عنوان رشته بیت کلید انتخاب می‌کنیم:

^۱ این عبارت مربوط به یک جدول جهانی است که برای هر کاراکتر در کامپیوتر یک رشته بیت هشت تایی از ۰ و ۱ تعریف کرده است.

•	•	•	1	1	•	1	1
---	---	---	---	---	---	---	---

از طریق اثر کردن گیت کامپیوترا *XOR* روی رشته پیام اصلی به رشته پیام رمزی شده زیر می-

رسیم:

•	1	•	1	•	•	1	•
---	---	---	---	---	---	---	---

به فرایند ارسال رشته بیت کلید از طریق کانال عمومی و ارسال رشته پیام رمزی شده از طریق کانال کوانتومی، توزیع کلید کوانتومی می‌گوییم [۶].

در کانال کلاسیکی (عمومی) استراق سمع کننده نمی‌تواند به حضور فرستنده و گیرنده پی ببرد اما آنها می‌توانند به حضور استراق سمع کننده پی ببرند و این کانال ایمن است و به همین دلیل کلید از طریق این کانال ارسال می‌شود.

۲-۴ غیرموضعیت^۱

اگر A حالت سیستم خود را به صورت زیر داشته باشد:

$$|\Psi\rangle = \frac{1}{2}(|\uparrow\rangle_1^z |\downarrow\rangle_2^z - |\downarrow\rangle_1^z |\uparrow\rangle_2^z) = \frac{1}{2}(|\uparrow\rangle_1^x |\downarrow\rangle_2^x - |\downarrow\rangle_1^x |\uparrow\rangle_2^x)$$

معمولأً حالت سیستم را در پایه‌های \mathbb{Z} می‌نویسیم:

$$\begin{array}{ll} |\uparrow\rangle^x = |+\rangle & |\uparrow\rangle^z = |0\rangle \\ |\downarrow\rangle^x = |- \rangle & |\downarrow\rangle^z = |1\rangle \end{array} \quad \text{قرارداد} \quad (9-2)$$

¹Nonlocality

حال اگر Alice و Bob حالت سیستم را مشترکاً اندازه بگیرند، هر کدام حالت سیستم را در راستای مورد نظر خودش اندازه می‌گیرد. چرا که هر کدام دو راستای اندازه‌گیری دارند:

۱) یا اسپین را در راستای z اندازه می‌گیرند.

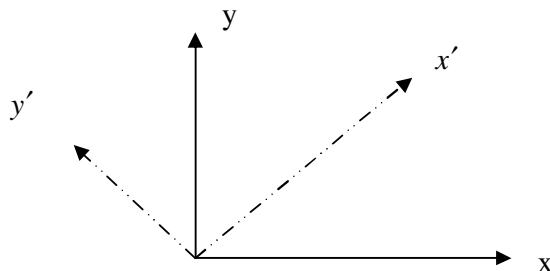
۲) یا اسپین را در راستای x اندازه می‌گیرند.

در حالت کلی هر کدامشان دو خروجی دارند یا به عبارتی ۲ نتیجه‌ی اندازه‌گیری خواهیم داشت که یکی \uparrow و دیگری \downarrow می‌باشد. در اینجا چون فوتون مدنظر است و با توجه به ۱ بودن اسپین و ۰ بودن جرم سکونش تنها دو حالت \uparrow, \downarrow برای اسپین آن داریم یعنی $m_s = \pm 1$ اما اگر جرم سکون صفر نباشد و اسپین ۱ باشد، در این صورت ۳ خروجی داریم. به همین دلیل به پروتکل‌هایی که تاکنون با فوتون طراحی شده‌اند، ۴ حالته می‌گوییم.

برای این پروتکل‌ها راستای اندازه‌گیری یا 0° و 90° درجه است و یا 45° و 135° درجه می‌باشد. در این صورت پایه‌های اندازه‌گیری قابل تبدیل به همدیگر هستند و می‌توان یکی را بر حسب دیگری نوشت. به عبارتی اگر مطابق شکل زیر پایه‌ها را بر حسب x و y به ترتیب برای 0° و 90° درجه و بر حسب x' و y' برای 45° و 135° درجه نوشت می‌توان گفت:

$$\hat{x} = \cos 45^\circ \hat{x}' - \sin 45^\circ \hat{y}' = \frac{1}{\sqrt{2}}(\hat{x}' - \hat{y}')$$

$$\hat{y} = \cos 45^\circ \hat{x}' + \sin 45^\circ \hat{y}' = \frac{1}{\sqrt{2}}(\hat{x}' + \hat{y}')$$



شکل(۲) پایه‌های حالت یک سیستم کوانتومی که با زاویه‌ی 45° درجه دوران یافته‌اند

اگر حالت سیستم S_z باشد، در صورتی که آلیس پس از اندازه‌گیری S_z

$|\Psi\rangle = \frac{1}{2}(|\uparrow\rangle_1^z |\downarrow\rangle_2^z - |\downarrow\rangle_1^z |\uparrow\rangle_2^z)$ بودست آورد و اگر باب S_x را

اندازه‌بگیرد، با احتمال $\frac{1}{2}$ ، $|\uparrow\rangle^x$ و با احتمال $\frac{1}{2}$ ، $|\downarrow\rangle^x$ را به دست می‌آورد. خلاصه اینکه توزیع

احتمال در طرف باب وابسته به این است که آلیس چه چیزی را اندازه می‌گیرد و این تعریف

غیرموضعیت است.

در این رابطه در سال ۱۹۶۴ بل نظریه‌ای ارائه داد که به اندازه‌گیری اسپین در راستای محورهای

متعامد به عنوان نظریه‌ای واقعی و موضعی می‌پرداخت. وی معادله‌ای را ارائه داد که می‌گفت در

صورت موضعی بودن این سیستم یعنی این‌که معادله‌ی ارائه شده در بازه‌ی [۲-۲] باشد، اما مکانیک

کوانتومی که غیرموضعی بودن را پیشنهاد می‌کرد بیان کننده‌ی آن است که در صورت غیر موضعی

بودن سیستم، باید معادله در بازه‌ی $[\sqrt{2}, 2\sqrt{2}]$ باشد. پس از آزمایش آن به صورت تجربی مقدار $2\sqrt{2}$

بودست آمد و این باعث شد که نامساوی 1 نقض شود و ثابت شد که سیستم کوانتومی غیرموضع

است. این کار توسط کلازر، هرن، شیمینی و هلتز^۳ انجام شد و آن‌ها با نام CHSH مشهور

شدند [۲][۸][۱۰].

۷-۲ تکثیرناپذیری^۳

همان‌طور که می‌دانیم قدرت یک کامپیوتر کوانتومی از این است که یک کیوبیت می‌تواند در یک

حالت برهم‌نہشی باشد یعنی:

$$|\Psi\rangle = \alpha|0\rangle + \beta|1\rangle$$

¹ Bell inequality

² Czajka, Horn, Sheminey, Hertz

³ No-Cloning

حال می‌خواهیم بدانیم که آیا کپی در این کامپیوتروها اتفاق می‌افتد؟ جواب منفی است. عدم توانایی در کپی‌برداری حالت‌های کوانتومی، تئوری تکثیرنایزیری نام دارد که توسط ووتر^۱ و زورک^۲ در سال ۱۹۸۲ اثبات شد و علت برتری کامپیوتروهای کوانتومی بر کلاسیکی معرفی شد[۲]. دو حالت خالص^۳ را مورد بررسی قرار می‌دهیم که یک اپراتور U داریم و

حالت هدف $|\chi\rangle$ است:

$$U(|\Psi\rangle \otimes |\chi\rangle) = |\Psi\rangle \otimes |\Psi\rangle \quad (I)$$

$$U(|\Phi\rangle \otimes |\chi\rangle) = |\Phi\rangle \otimes |\Phi\rangle \quad (II)$$

از طرف چپ رابطه I را با II ضرب داخلی می‌کنیم و با این نکته که $U^\dagger U = 1$ داریم:

$$\begin{aligned} (\langle \Psi | \otimes \langle \chi |) U^\dagger U (|\Phi\rangle \otimes |\Psi\rangle) &= \langle \Psi | \otimes \langle \Psi | \Phi \rangle \otimes |\Phi\rangle \\ \langle \Psi | \Phi \rangle \langle \chi | \chi \rangle &= \langle \Psi | \Phi \rangle \langle \Psi | \Phi \rangle \\ \Rightarrow \langle \Psi | \Phi \rangle &= |\langle \Psi | \Phi \rangle|^2 \end{aligned} \quad (11-2)$$

این معادله در صورتی می‌تواند درست باشد که $|\Psi| \Phi \rangle = 1$ باشد که بدان معنی است که $|\Psi\rangle$ و $|\Phi\rangle$ با هم برابرند و یا $|\Phi\rangle = 0$ یعنی $\langle \Psi | \Phi \rangle = 0$ متعامد می‌باشند و هیچ حالت یکانی نامتعامدی وجود ندارد که بتوان از آن برای کپی کردن استفاده کرد. البته برای حالت‌هایی که برهم-نهش ندارند کپی اتفاق می‌افتد اما حالت‌هایی که در حالات برهم‌نهشی هستند کپی اتفاق نمی‌افتد. از طرفی چون کامپیوتروهای کوانتومی از حالات درهم‌تنیده و برهم‌نهشی استفاده می‌کنند، پس کپی کردن در کامپیوتروهای کوانتومی امکان‌ناپذیر است[۲].

¹ Wootters

² Zurek

³ Pure

۸-۲ عدم علامت‌دهی^۱

پس از آن مفهوم دیگری به معنی عدم علامت‌دهی را شرح می‌دهیم که این مفهوم، وسیله‌ای برای تولید پروتکل‌هایی است که دارای ایمنی قوی‌تری هستند.

عدم علامت‌دهی یعنی این‌که هرگز فرستنده قادر به ارسال سیگنال برای گیرنده نمی‌باشد. حال اگر فرض کنیم که A به عنوان فرستنده به B به عنوان گیرنده سیگنال بفرستد، آنگاه A نقطه‌ی x_A را در زمان t_A اندازه می‌گیرد و B نقطه‌ی x_B را در زمان t_B اندازه می‌گیرد، در این صورت با توجه به تعریف نسبیت خواهیم داشت:

$$\frac{x_B - x_A}{t_B - t_A} > C$$

و این حالت فضایکونه است. با توجه به این‌که فاصله بسیار زیاد است به عبارتی چون اطلاعات به طور آنی منتقل می‌شوند پس رابطه به صورت زیر خواهد بود:

$$\frac{x_B - x_A}{t_B - t_A} > C \quad \Rightarrow \quad v \rightarrow \infty$$

پس سرعت بسیار بزرگتر از سرعت نور خواهد شد و این اتفاق با نسبیت منافات دارد. به عنوان مثال دیگر سیستمی را شامل مشاهده‌پذیرهای a, a', b, b' که به ترتیب دارای نتایج اندازه-گیری i, i', j, j' هستند را در نظر می‌گیریم. به علاوه همه‌ی مشاهده‌پذیرها دارای نتیجه‌ی اندازه-گیری \circ یا 1 هستند. برخلاف آنچه غیرموضعیت بر آن دلالت دارد یعنی نتیجه‌ی اندازه‌گیری یا احتمال اندازه‌گیری باب وابسته به آن است که آلیس چه مشاهده‌پذیری را اندازه می‌گیرد، عدم علامت‌دهی بر این دلالت دارد که هیچ سیگنالی نمی‌تواند با سرعتی بیش از سرعت نور در یک لحظه از آلیس به باب منتقل شود. در این صورت می‌توان تعریف کرد که:

¹ Non-signaling

اگر آليس، S_z را اندازه بگیرد و $i = 0$ باشد و دیگری هم S_z را اندازه بگیرد و $j = 1$ باشد، پس

احتمال توامان را به صورت زیر نشان می‌دهیم:

$$P_{S_z, S_z}^{0,1}$$

و وقتی آنها نمی‌توانند برای هم سیگنال بفرستند، پس احتمال مستقل از دیگری است. پس می‌تواند با

حالتی که آليس پس از اندازه‌گیری $S_z = 0$ و باب پس از اندازه‌گیری $S_z = j$ را بدست آورد، برابر

است با:

$$P_{S_z, S_z}^{0,0}$$

بنابراین مجموع احتمالات برای حالتی که آليس پس از اندازه‌گیری مقدار صفر را مستقل از باب

بدست می‌آورد، به صورت رابطه‌ی زیر خواهد بود:

$$\Rightarrow \sum_j P_{ab}^{0j} = \sum_{j'} P_{ab'}^{0j'} \quad (12-2)$$

خلاصه بحث آن است که احتمال اینکه آليس پس از اندازه‌گیری S_z مقدار ۰ را بدست آورد، مستقل

از آن است که باب چه چیزی را چه مقدار اندازه بگیرد:

$$P_{S_z, S_z}^{0,0} + P_{S_z, S_z}^{0,1} = P_{S_z, S_x}^{0,0} + P_{S_z, S_x}^{0,1} \quad (13-2)$$

پس احتمال اینکه مقدار a هر چقدر باشد برای اولی کاملاً از این که b چقدر باشد یا b' چقدر

باشند، مستقل است [۱۱].

۹-۲ کره‌ی بلاخ

مفهوم دیگری که در شناخت پروتکل‌ها مهم است شناخت کره‌ی بلاخ^۱ است. در ادامه مختصروی راجع

به آن می‌پردازیم:

¹ Bloch sphere

سیستمی را در نظر می‌گیریم که یک تک کیوبیت است. حالت کلی ماتریس چگالی را می‌توان به صورت هر ماتریس 2×2 یکانی بر حسب ماتریس‌های پائولی و ماتریس یکه بنویسیم از آنجایی ماتریسهای σ_i ($i=1,2,3$) مجموع عناصر قطریشان صفر و بسط دهیم.

است $Tr(\rho) = 1$ و $Tr(\sigma_i) = 0$ باشد.

$$\Rightarrow \rho = r_0 I + \beta \sigma_1 + \gamma \sigma_2 + \delta \sigma_3$$

$$\rho = r_0 I + \vec{n} \cdot \vec{\sigma}_i \quad (14-2)$$

در فرمول بالا β, γ, δ مولفه‌های بردار \vec{n} هستند و خواهیم داشت:

$$\rho_n = \frac{1}{2}(I + \vec{n} \cdot \vec{\sigma}_i) = \frac{1}{2} \begin{pmatrix} r_0 + z & x - iy \\ x + iy & r_0 - z \end{pmatrix} \quad (15-2)$$

حال در نظر داریم که:

۱- ρ هرمیتی است. بنابراین ضرایب $r_0, \beta, \gamma, \delta$ همگی حقیقی هستند.

$$r_0 = 1 \quad (14-2)$$

۲- برای بررسی این شرط باید ویژه مقادیر را حساب کنیم. ویژه مقادیر به صورت زیر است:

$$\lambda_{1,2} = \frac{1}{2}(1 \pm n) \quad (16-2)$$

و n اندازه‌ی بردار \vec{n} است.

چون می‌دانیم باید دارای ویژه مقادیر مثبت باشد به همین دلیل n باید کمتر از یک باشد. پس یک تناظر یک به یک بین ماتریس چگالی یک کیوبیت و نقاط روی کره‌ی سه بعدی داریم، که این کره کره‌ی بلخ نام دارد. هر عملگر یکانی را می‌توان با نوعی چرخش این کره متناظر ساخت. در مکانیک

کوانتومی کرده بلاح نمایش هندسی فضای حالت خالص یک سیستم کوانتومی دو حالتی است. نقاط روی کرده بلاح نقاطی هستند که در آنها $n=1$ و بنا بر این، ویژه مقادیر برابر با 0 و 1 هستند. در

نتیجه این نقاط متناظر با حالت‌های خالص هستند و برای مرکز کرده ویژه مقادیر برابر با $\frac{1}{2}$ است که نشان‌دهندهی حالت کاملاً آمیخته^۱ است.

(رد یک ماتریس در تمام تبدیلات ثابت است به عبارتی دوران یک ماتریس هرگز رد آن را عوض نمی‌کند) پس ρ را دوران می‌دهیم تا قطعی شود، اکنون رد آن باید برابر با 1 باشد، پس اگر ویژه مقادیر منفی شود غلط است، در این صورت ماتریس چگالی متناظر با نقطه‌ای در داخل کرده است و این کرده شعاعش یک است. تمام ماتریس‌های چگالی را می‌توان بر حسب رابطه‌ی (۱۵-۲) نوشت.

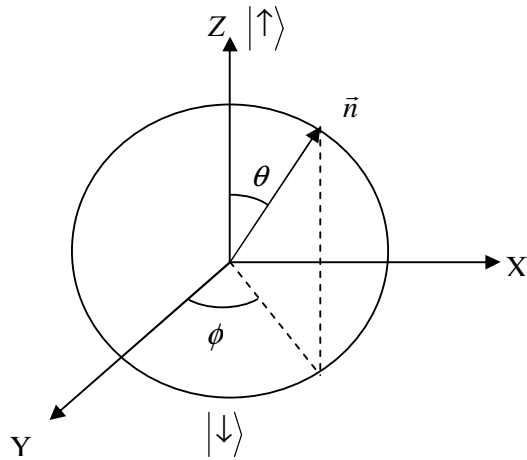
قبلانشان دادیم که هر اسپین را می‌توان بر حسب θ و φ نوشت، حال اگر به اندازه‌ی θ و φ دوران دهیم، اسپین دیگری بدست می‌آوریم. از ریاضی فیزیک می‌دانیم که $I = (\vec{n} \cdot \vec{\sigma}_i)^2$ است. اگر \vec{n} یک بردار یکه باشد، می‌توان حاصلضرب داخلی را بدست آورد پس در این صورت می‌توان گفت \vec{n} بردار یکه‌ای است که نقاط روی سطح را جاروب می‌کند و جهت اسپین را نشان می‌دهد. پس برای حالتی که نقاط روی کرده مدنظر است می‌توان گفت:

$$\begin{aligned} \rho_n &= \frac{1}{2}(I + \vec{n} \cdot \vec{\sigma}_i) \\ \rho_n &= \frac{1}{2}((\vec{n} \cdot \vec{\sigma}_i)^2 + \vec{n} \cdot \vec{\sigma}_i) = \frac{1}{2}(\vec{n} \cdot \vec{\sigma}_i)((\vec{n} \cdot \vec{\sigma}_i) + 1) = \rho_n(\vec{n} \cdot \vec{\sigma}_i) \\ \rightarrow (\vec{n} \cdot \vec{\sigma}_i) &= \rho_n \quad \Rightarrow \quad \rho_n^2 = \rho_n \end{aligned} \quad (17-2)$$

حال با توجه به این مشخصه می‌فهمیم که ρ عملگر تصویر است پس $|\psi\rangle$ به \vec{n} وابسته است. مولفه‌های بردار یکه‌ی \vec{n} در مختصات کروی به صورت زیر است:

$$\vec{n} = \sin \theta \cos \varphi \vec{i} + \sin \theta \sin \varphi \vec{j} + \cos \theta \vec{k} \quad (18-2)$$

^۱Mixed state



شکل(۳-۲) \vec{n} بردار کروی در کره‌ی بلاخ

پس هر حالت اسپین به یک نقطه روی کره بلاخ مربوط است که می‌تواند روی آن توسط بردار یکه معلوم شود. در آنسامبل خالص، همگی در یک حالت قرار گرفته‌اند و همهی الکترون‌ها در یک حالت هستند

$$|\psi\rangle = \alpha|\uparrow\rangle + \beta|\downarrow\rangle$$

اما آنسامبل مخلوط، به صورتی است که N_1 تای آن در حالت $|\psi_1\rangle$ و N_2 تای آن در حالت $|\psi_2\rangle$ و ... است و ماتریس چگالی آن‌ها متفاوت است.

$$P_1 \Rightarrow |\psi_1\rangle = \alpha_1|\uparrow\rangle + \beta_1|\downarrow\rangle , \quad P_1 = \frac{N_1}{N}$$

$$P_2 \Rightarrow |\psi_2\rangle = \alpha_2|\uparrow\rangle + \beta_2|\downarrow\rangle , \quad P_2 = \frac{N_2}{N}$$

$$P_3 \Rightarrow |\psi_3\rangle = \alpha_3|\uparrow\rangle + \beta_3|\downarrow\rangle , \quad P_3 = \frac{N_3}{N}$$

و نهایتاً می‌شود:

$$P_n \Rightarrow |\psi_n\rangle = \alpha_n |\uparrow\rangle + \beta_n |\downarrow\rangle , \quad P_n = \frac{N_n}{N}$$

$$P_1 + P_2 + \dots + P_n = 1$$

حالات آمیخته مربوط به نقاط داخل کره بلاخ می‌شود و در ماتریس چگالی آنها، عناصر غیرقطری صفر است اما حالات خالص^۱ مربوط به نقاط روی کره می‌شود و در ماتریس چگالی آنها همهٔ عناصر غیر صفر هستند.

¹ Pure state

فصل سوم

معرفی چند پروتکل مهم

۱-۳ مقدمه

در این فصل به معرفی چند پروتکل مهم که نقش عمده‌ای در روند پیشرفت رمزنگاری کوانتومی داشتند، می‌پردازیم. در هر پروتکل هدف اصلی بدست آوردن کلید است که برای دقیق بودن هر چه بیشتر آن مراحل زیر روی آن اعمال می‌گردد:

۱. استخراج کلید خام: با استفاده از کانال کوانتومی یک رشته بیت بین فرستنده و گیرنده به اشتراک گذاشته می‌شود. پس از بررسی همبستگی‌ها، آن دسته که به علت وجود استراق سمع کننده با هم همبستگی ندارند حذف می‌شوند به گونه‌ای که تنها بخشی از رشته‌ی فرستنده و رشته‌ی گیرنده که برابر هستند، باقی می‌مانند. طول این بخش برابر به عوامل مختلفی از جمله نوع پروتکل، ویژگی‌های کانال و اینکه آیا استراق سمع کننده ارتباط را شنود می‌کند یا نه، بر می‌گردد.
۲. تصفیه: حذف بسیاری از بیت‌های رشته که در نزد گیرنده و فرستنده همبستگی ندارند. این کار برای حذف بیت‌های مخدوش به کار می‌رود بدون آنکه هیچ اطلاعاتی در مورد خود بیت‌ها بر روی کانال منتقل شود. پس از انجام این کار، طول این رشته‌ی تصفیه شده‌ای که در اختیار فرستنده و گیرنده قرار دارد، کوچکتر شده است که میزان کوچکتر شدن به ویژگی‌های کانال و اعمال شنود بستگی دارد.
۳. تصحیح خطای بازیابی کلید: بر اساس نوع پروتکل به کار گرفته شده، با استفاده از بیت‌های حذف شده در مرحله‌ی قبل، عملیات تصحیح خطای انجام می‌شود و با تخمین نرخ خطای بیت، مشخص می‌کنند که آیا استراق سمع کننده وجود دارد یا نه. اگر نرخ خطای بیت از یک حد از پیش تعیین شده فراتر رود، فرستنده و گیرنده حدس می‌زنند که شنود صورت گرفته و پروتکل قطع شده و مراحل باید از سر گرفته شوند.
۴. تقویت محramانه بودن: اگر نرخ خطای بیت کمتر از یک حد مشخص باشد، باز هم احتمال این وجود دارد که استراق سمع کننده بخشی از ارتباط را شنود کرده باشد و بنابراین، فرستنده و گیرنده

با حذف کردن بخشی دیگر از رشته بیت، سعی می کنند دانسته های استراق سمع کننده را باز هم کاهش دهند و این گونه نرخ محترمانه بودن کلید افزایش می یابد.

BB84 ۲-۳ پروتکل

رمزگاری متعارف کلاسیکی مثل RSA کلید ایمنی لازم را ندارد مگر آنکه برای هر کاراکتر یک کلید رمز در نظر گرفته شود. در رمزگاری کوانتومی از مفهوم دیگری به نام اصل عدم قطعیت در مکانیک کوانتومی استفاده شده است. در این روش فرستنده و گیرنده حتی در حضور استراق سمع کننده هم می توانند توزیع کلید کوانتومی را از طریق کانال های ارتباطی به صورت ایمن انجام دهند.

اولین پروتکل رمزگاری توسط بنت^۱ و براسارد^۲ در سال ۱۹۸۴ ارائه شد که مبنای اصلی آن بر اساس درهم تنیدگی کوانتومی بنا شده است [۱۴] و همان طور که در شکل زیر آمده است، آليس برای اندازه گیری حالت تکتایی داده شده در سیستم، می تواند دو مشاهده پذیر σ_z و σ_x را انتخاب کند. اگر آليس σ_z را اندازه بگیرد و $|\uparrow\rangle^z$ بدست آورد، باب در صورت انتخاب کردن σ_z برای اندازه گیری با توجه به حالت سیستم با احتمال ۱، $|\uparrow\rangle^z$ بدست می آورد ولی اگر σ_x را انتخاب کند با احتمال $\frac{1}{2}$ و یا $|\downarrow\rangle^x$ بدست می آورد.

$$|\psi\rangle = \frac{1}{\sqrt{2}}(|\uparrow\downarrow\rangle - |\downarrow\uparrow\rangle)$$

Alice

Bob

$$\begin{aligned}\sigma_x &\rightarrow |\uparrow\rangle_x, |\downarrow\rangle_x \\ \sigma_z &\rightarrow |\uparrow\rangle_z, |\downarrow\rangle_z\end{aligned}$$

$$\begin{aligned}\sigma_x &\rightarrow |\uparrow\rangle_x, |\downarrow\rangle_x \\ \sigma_z &\rightarrow |\uparrow\rangle_z, |\downarrow\rangle_z\end{aligned}$$

شکل (۱-۳) مشاهده پذیرهای فرستنده و گیرنده در پروتکل BB84

¹ Bennett
² Brassard

پس در این پروتکل دو راستای اندازه‌گیری داریم که یکی در راستای قائم (+)، برای فوتون‌های با پولاریزاسیون ۰ درجه (\rightarrow) و ۹۰ درجه (\uparrow) هستند و دیگری راستای مورب (\times)، برای فوتون‌های ۴۵ درجه (\nearrow) و ۱۳۵ درجه (\nwarrow) هستند و مراحل پروتکل به صورت زیر می‌باشد:

۱- ابتدا آليس به طور تصادفی پایه‌های اندازه‌گیری خود را انتخاب می‌کند و فوتون‌ها را اندازه

می‌گیرد و نتایج را بدون اعلام پایه‌ها از طریق کانال‌های عمومی برای باب ارسال می‌کند و

این نکته مهم است که آليس و باب پایه‌های همدیگر را نمی‌شناسند. اما نهایتاً هر چه جواب

بدست می‌آید باید با رابطه $\langle \uparrow | \text{سازگار} | \downarrow \rangle^z$ یا $\langle \downarrow | \text{سازگار} | \uparrow \rangle^x$ و

$|\uparrow\rangle^x$ است.

۲- باب فوتون‌های ارسالی را دریافت کرده و خود با انتخاب پایه به طور تصادفی به اندازه‌گیری

فوتون‌ها می‌پردازد.

۳- آليس به صورت تصادفی تعدادی از پایه‌های انتخابی خود را برای باب اعلام می‌کند.

۴- پس از بررسی نتایج مشترک بین آنها بیش از نصف انتخاب‌ها بود، آنها کلید را

استخراج می‌کنند و در غیر این صورت به این معناست که احتمال وجود استراق سمع کننده

بیش از نصف بوده و پروتکل قطع می‌گردد و اندازه‌گیری دوباره شروع می‌شود.

بیت‌های انتخابی آليس									
+ \uparrow	\times \nwarrow	$+$ \rightarrow	\times \nearrow	$+$ \uparrow	\times \nwarrow	\times \nwarrow	$+$ \rightarrow	پایه‌های تصادفی آليس	
\uparrow \uparrow	\uparrow \nwarrow	\rightarrow \nearrow	\uparrow \nwarrow	\uparrow \nwarrow	\uparrow \nwarrow	\uparrow \nwarrow	\rightarrow \rightarrow	قطبیش ارسال شده از طرف آليس	
+ \uparrow	$+$ \uparrow	\times \nwarrow	\times \nearrow	\times \nwarrow	$+$ \uparrow	\times \nwarrow	$+$ \rightarrow	پایه‌ی تصادفی باب	
\uparrow \uparrow	\uparrow \nwarrow	\nwarrow \nearrow	\nwarrow \nwarrow	\nwarrow \nwarrow	\uparrow \uparrow	\nwarrow \nwarrow	\rightarrow \rightarrow	قطبیش اندازه‌گیری شده‌ی باب	
۱ ۱			۰ ۰		۱ ۱		۰ ۱	کلید محروم‌های توافق شده	

جدول (۱-۳) نحوه‌ی محاسبه‌ی کلید در پروتکل BB84

حضور استراق سمع کننده در سیستم به صورت زیر برای آنها آشکار می‌شود. اگر استراق سمع کننده

در میان آنها باشد و بخواهد اندازه‌گیری انجام دهد و پایه‌ی $\left| \uparrow \right\rangle^z$ را انتخاب کند، ممکن است پایه

درست و یا اشتباه باشد، حال اگر درست باشد، در این صورت متوجه وجود استراق سمع کننده نمی-

شوند اما اگر اشتباه باشد، با احتمال $\frac{1}{2}$ مثلاً $\left| \uparrow \right\rangle^x$ را اشتباه می‌فرستد و باب با احتمال $\frac{1}{2}$ و با

احتمال $\frac{1}{2}$ $\left| \downarrow \right\rangle^z$ بدست می‌آورد. در این صورت پس از بررسی نتایج متوجه حضور استراق سمع کننده

می‌شوند.

در محاسبه‌ی اینمی پروتکل معتقد‌یم احتمال این‌که استراق سمع کننده پایه‌ی غلط را انتخاب کند

$\frac{1}{2}$ است و احتمال این‌که باب پایه‌ای مشابه با آلیس انتخاب نماید، $\frac{1}{2}$ است. بنابراین احتمال این‌که

یک فوتون آشکار شده جوابی غلط در کلید ایجاد کند $\frac{1}{4}$ است. یعنی با احتمال $\frac{3}{4}$ جواب درست

است. آلیس و باب n تا از بیت‌های کلیدشان را به طور عمومی با هم مقایسه می‌کنند تا از محترمانه

بودن کلید اطمینان حاصل نمایند. احتمال این‌که هیچ خطایی پیدا نکنند $\left(\frac{3}{4}\right)^n$ است پس احتمال

این‌که خطایی پیدا شود برابر است با:

$$p = 1 - \left(\frac{3}{4}\right)^n$$

خلاصه آن‌که با احتمال خیلی خوبی می‌توان تشخیص داد که استراق سمع کننده وجود دارد یا نه. از

طریق زیاد کردن تعداد کیوبیت‌ها و یا اعلام نتایج مشترک، می‌توان خطاهای را کم و کمتر کرد. این

پروتکل آن‌قدر تکرار می‌شود تا از عدم حضور استراق سمع کننده اطمینان حاصل شود. البته این را

می‌دانیم که استراق سمع کننده به دلیل خاصیت تکثیرناپذیری در کامپیوترهای کوانتومی، نمی‌تواند

پس از گرفتن اطلاعات از آن کپی بگیرد و برای باب بفرستد و علت آن، این است که کیوبیت پس از

اندازه‌گیری فروریزش می‌کند چون حالت کوانتومی پس از فروریزش حالت قابل بازیافت نیست، زیرا

مثلاً حالت $\alpha|\downarrow\rangle + \beta|\uparrow\rangle$ پس از اندازه‌گیری متلاشی شده و قابل بازسازی نیست. چون نمی‌دانیم

α و β چه مقدار بوده، فقط می‌توانیم کیوبیت را اندازه بگیریم و متلاشی می‌شود. در صورتی می-

توان آنها را اندازه گرفت که بینهایت α و β داشته باشیم و ببینیم چند درصد $|\uparrow\rangle$ و چند درصد $|\downarrow\rangle$ می‌شود.

پس در این حالت می‌توان مقدار آنها را به دست آورد. حال پس از متوجه شدن عدم

حضور استراق سمع کننده، می‌توان رشته را فرستاد. چون اینمی سیستم تضمین شده است. این

رشته ارسال شده همان رشته بیت کلید است و باب پس از گرفتن این رشته، رشته‌ی رمزی شده‌ای

که قبل از آن از طریق کانال کوانتومی فرستاده شده بود، رمزگشایی می‌کند و پیام را می‌فهمد. این

روش دارای این حسن است که حضور استراق سمع کننده را می‌توان تشخیص داد و این رشته را

هرگز کسی به جز باب و آلیس نمی‌داند، اما در کامپیوترهای کلاسیکی این اتفاق نمی‌افتد و این به

واسطه‌ی این دو موضوع است که عبارتند از:

۱- اینکه کیوبیت‌های کوانتومی قابل کپی کردن نیستند.

۲- هر کیوبیت پس از اندازه‌گیری فروریزش می‌کند و یا به عبارتی پس از مختل شدن کیوبیت‌ها، دیگر

بازسازی نمی‌شود. البته مشکل دیگری هم ممکن است پیش آید و آن اینکه سیگنال ارسالی در کانال-

های کوانتومی باعث ایجاد چرخش در سیگنال ارسالی می‌شود به عبارتی اگر $|\uparrow\rangle$ را بفرستد، ممکن

است با کمی انحراف منتقل شود پس در این صورت خطای ایجاد می‌شود که البته این قابل اندازه-

گیری است. پس خطای ناشی از این محیط به راحتی قابل کنترل است، به عبارتی خطای ناشی از

استراق سمع کننده قابل تشخیص است.

چند سال بعد ایکرت^۱ ایده‌ی جدیدی برای رمزگاری ارائه داد که بر مبنای همبستگی‌های میان ذرات

درهم‌تندیهای که باهم به اشتراک گذاشته شده‌اند، می‌باشد [۱۵] و شرح پروتکل ایکرت به طور

مختصر در زیر آمده است و امنیت این پروتکل از طریق غیرموضعیت قابل بررسی است.

¹ Ekert

۳-۳ پروتکل ایکرت

این پروتکل از طریق آنالیزورهایی که در کره‌ی بلخ، زوایای مشخصی دارند کار می‌کنند. به این

صورت که طبق شکل زیر آلیس زوایای $\phi = 0, \frac{\pi}{4}, \frac{\pi}{2}$ و باب $\phi = \frac{\pi}{4}, \frac{\pi}{2}$ انتخاب می‌کنند.

Alice	Bob
$a_1 \rightarrow \varphi_1^a = 0$	$b_1 \rightarrow \varphi_1^b = \frac{\pi}{4}$
$a_2 \rightarrow \varphi_2^a = \frac{\pi}{4}$	$b_2 \rightarrow \varphi_2^b = \frac{\pi}{2}$
$a_3 \rightarrow \varphi_3^a = \frac{\pi}{2}$	$b_3 \rightarrow \varphi_3^b = \frac{3\pi}{4}$

شکل(۲-۳) مشاهده‌پذیرهای پروتکل ایکرت

هر دو، سه انتخاب برای اندازه‌گیری حالت سیستم یگانه دارند. پس از اینکه پیام‌ها ارسال شد، آلیس و باب آنالیزورهای انتخابی خود را برای هم اعلام می‌کنند. انتخاب‌های آنها به دو دسته تقسیم می‌شود: گروه اول آنالیزورهایی که دارای زوایای سمتی مشابه هستند، می‌باشد که از آنها برای بررسی همبستگی میان نتایج استفاده می‌کنیم. به طوری که پس از اعلام اندازه‌گیری‌ها تمام آنهایی که دارای همبستگی نیستند، حذف می‌کنیم و از بقیه کلید را استخراج می‌کنیم.

گروه دوم آنهایی هستند که آنالیزورهای شان با هم زوایای سمتی نامشابه دارند. نتیجه‌ی آنالیزورها بر حسب $\frac{\hbar}{2}$ است و نتایج اندازه‌گیری ± 1 می‌باشد که معرف اسپین بالا یا پایین هستند و از طریق یک کیوبیت اطلاعاتی آشکارسازی می‌شوند:

$$E(a_i, b_j) = P_{++}(a_i, b_j) + P_{--}(a_i, b_j) - P_{+-}(a_i, b_j) - P_{-+}(a_i, b_j) \quad (1-3)$$

نتایج اندازه‌گیری ($P_{\pm\pm}(a_i, b_j)$) ± 1 است. به عبارتی نتیجه‌ی اندازه‌گیری a_i و نتیجه‌ی اندازه‌گیری b_j , ± 1 خواهد بود. پس طبق قوانین کوانتومی خواهیم داشت:

$$E(a_i, b_j) = -a_i \cdot b_j = -\cos \theta \quad (2-3)$$

که θ زاویه‌ی میان دو آنالیزور است و طبق روابط بالا با توجه به آن که

$$a_1 = 0, a_3 = \frac{\pi}{2}, b_1 = \frac{\pi}{4}, b_3 = \frac{3\pi}{4} \text{ خواهیم داشت:}$$

$$\begin{aligned} E(a_1, b_1) &= -\cos\left(\frac{\pi}{4}\right) = -\frac{\sqrt{2}}{2} \\ E(a_1, b_3) &= -\cos\left(\frac{3\pi}{4}\right) = \frac{\sqrt{2}}{2} \\ E(a_3, b_1) &= -\cos\left(\frac{\pi}{4}\right) = -\frac{\sqrt{2}}{2} \\ E(a_3, b_3) &= -\cos\left(\frac{\pi}{4}\right) = -\frac{\sqrt{2}}{2} \end{aligned} \quad (3-3)$$

در این صورت رابطه بل به صورت زیر بدست می‌آید:

$$|E(a_1, b_1) - E(a_1, b_3) + E(a_3, b_1) + E(a_3, b_3)| \leq 2\sqrt{2} \quad (4-3)$$

حال در زیر نحوه‌ی سنجیدن سیستم برای حضور یا عدم حضور استراق سمع کننده با استفاده از

نامساوی بل را شرح می‌دهیم. مثالی از نامساوی بل:

Alice

- 1) σ_z 0,1
- 2) σ_x 0,1

Bob

- 1) σ_z 0,1
- 2) σ_x 0,1

شکل(۳-۳) مشاهده‌پذیرهای انتخابی در نامساوی بل

فرض می‌کنیم آلیس در دو حالت می‌تواند اندازه‌گیری را انجام دهد، که اینجا σ_z را اندازه می‌گیرد و شماره‌ی ۱ می‌گذاریم و برای σ_x شماره‌ی ۰ را می‌گذاریم. برای باب هم به همین ترتیب. اگر ورودی-های سیستم را σ_z و σ_x و خروجی‌های a و b هر کدام برابر با ۰ و ۱ قرار دهیم (برای سیستم دو حالتی) احتمالات سیستم را این‌گونه تعریف می‌کنیم $P(a,b|x,y) \equiv P_{x,y}^{a,b}$ ، نامساوی بل اینگونه بدست می‌آید:

احتمال اینکه آلیس ۱ را داشته باشد یعنی σ_z را اندازه بگیرد و مقدار ۱ را بدست آورد و باب هم ۱ را بگیرد و یعنی σ_z را اندازه بگیرد و مقدار ۰ را بدست آورد به این صورت نمایش می‌دهیم، $P_{1,1}^{1,0}$ و احتمال اینکه آلیس ۱ را داشته باشد یعنی σ_z را اندازه بگیرد و مقدار ۰ را بدست آورد و باب هم ۲ را بگیرد و یعنی σ_x را اندازه بگیرد و مقدار ۰ را بدست آورد به صورت $P_{1,2}^{0,0}$ نمایش می‌دهیم، و احتمال اینکه آلیس ۲ را داشته باشد یعنی σ_x را اندازه بگیرد و مقدار ۰ را بدست آورد و باب هم ۱ را بگیرد و یعنی σ_z را اندازه بگیرد و مقدار ۱ را بدست آورد به صورت $P_{2,1}^{0,1}$ نمایش می‌دهیم، و احتمال اینکه آلیس ۲ را داشته باشد یعنی σ_x را اندازه بگیرد و مقدار ۰ را بدست آورد و باب هم ۲ را بگیرد و یعنی σ_x را اندازه بگیرد و مقدار ۰ را بدست آورد به این صورت نمایش می‌دهیم، $P_{2,2}^{0,0}$ می‌توان گفت:

$$0 \leq P_{11}^{10} + P_{12}^{00} + P_{21}^{01} - P_{22}^{00} \leq 1 \quad (5-3)$$

که در حالت کلاسیکی این حدود برقرار است ولی اگر حالت سیستم درهم‌تنیده باشد، مثلاً $\frac{1}{\sqrt{2}}(|01\rangle - |10\rangle)$. در این صورت به جای آنکه این نامساوی کوچکتر و مساوی ۱ باشد، کوچکتر و مساوی $\sqrt{2}$ است، در این صورت نامساوی بل نقض می‌شود، پس اگر درهم‌تنیده باشد، نامساوی بل نقض می‌شود و با نقض این نامساوی غیرموضعیت هم پدیدار می‌شود. حال چگونه آلیس و باب متوجه حضور استراق سمع کننده می‌شوند؟ اگر کسی در این میان جاسوسی کند این حالت که درهم‌تنیده است به حالت حاصل ضرب تبدیل می‌شود (یعنی استراق سمع کننده این میان سیستم را مغشوش

می‌کند و به $\langle 01 |$ و یا $\langle 10 |$ تبدیل می‌شود که در آن صورت دیگر در هم‌تنیده نیست و احتمال بین ۰ و ۱ می‌شود و نمی‌توان در رابطه با حضور استراق سمع کننده حرفی زد ولی اگر رابطه میان ۰ و $\sqrt{2}$ بود این دلیل بر عدم حضور استراق سمع کننده است.

ایده بعدی توسط بنت و براسارد و مرمنین^۱ ارائه شد که نقطه‌ی قوتی در رمزگاری کوانتومی شد [۱۶] و این پروتکل در زیر آمده است:

۴-۳ BBM پروتکل

بر خلاف BB84 که بر حسب پایه‌های متعامد $\langle \uparrow |, \downarrow |, \pm |$ و یا $\langle \rightarrow |, \leftarrow |$ هستند، B92 بر حسب پایه‌های نامتعامد، $\langle \uparrow |$ و $\langle \rightarrow |$ که به ترتیب روی کره‌ی بلاخ در راستای محور x و z می‌باشند و اپراتورهای تصویر آن به صورت زیر نوشته می‌شوند:

$$P_0 = 1 - |\uparrow\rangle\langle\uparrow| \quad (6-3)$$

$$P_1 = 1 - |\rightarrow\rangle\langle\rightarrow|$$

و $\alpha = |\langle\uparrow|\rightarrow\rangle|^2$ خواهیم داشت و α مقداری مثبت است.

Alice

$$\begin{aligned} a_1 &\rightarrow |\uparrow\rangle \\ a_2 &\rightarrow |\rightarrow\rangle \end{aligned}$$

Bob

$$\begin{aligned} b_1 &\rightarrow |\uparrow\rangle \\ b_2 &\rightarrow |\rightarrow\rangle \end{aligned}$$

شکل (۴-۳) مشاهده‌پذیرهای انتخابی در پروتکل B92

احتمال اینکه در P_0 ، $|\uparrow\rangle$ داشته باشیم، + است. پس مقدار چشم داشتی آن هم صفر است. در این راستا هیچ تصویری ندارد، حال اگر P_0 روی $|\uparrow\rangle$ اثر کند، داریم:

(۷-۳)

^۱ Mermin

$$\begin{aligned} \langle \uparrow | P_0 | \uparrow \rangle &= \langle \uparrow | (1 - |\uparrow\rangle\langle\uparrow|) | \uparrow \rangle = \langle \uparrow | \uparrow \rangle - \langle \uparrow | \uparrow \rangle \langle \uparrow | \uparrow \rangle = 0 \\ \Rightarrow \quad \quad \quad \langle \uparrow | P_0 | \uparrow \rangle &= 0 \end{aligned}$$

و اگر P_1 روی $|\uparrow\rangle$ اثر کند، خواهیم داشت:

$$\begin{aligned} \langle \uparrow | P_1 | \uparrow \rangle &= \langle \uparrow | (1 - |\rightarrow\rangle\langle\rightarrow|) | \uparrow \rangle = \langle \uparrow | \uparrow \rangle - \langle \uparrow | \rightarrow \rangle \langle \rightarrow | \uparrow \rangle \\ &= 1 - |\langle \uparrow | \rightarrow \rangle|^2 = 1 - \alpha \quad (\text{۸-۳}) \\ \Rightarrow \quad \quad \quad \langle \uparrow | P_1 | \uparrow \rangle &= 1 - \alpha \geq 0 \end{aligned}$$

و به همین ترتیب:

$$\begin{aligned} \langle \rightarrow | P_0 | \rightarrow \rangle &= \langle \rightarrow | (1 - |\uparrow\rangle\langle\uparrow|) | \rightarrow \rangle = \langle \rightarrow | \rightarrow \rangle - \langle \rightarrow | \uparrow \rangle \langle \uparrow | \rightarrow \rangle \\ &= 1 - |\langle \rightarrow | \uparrow \rangle|^2 = 1 - \alpha \quad (\text{۹-۳}) \\ \Rightarrow \quad \quad \quad \langle \rightarrow | P_0 | \rightarrow \rangle &= 1 - \alpha \geq 0 \end{aligned}$$

۶

$$\begin{aligned} \langle \rightarrow | P_1 | \rightarrow \rangle &= \langle \rightarrow | (1 - |\rightarrow\rangle\langle\rightarrow|) | \rightarrow \rangle = \langle \rightarrow | \rightarrow \rangle - \langle \rightarrow | \rightarrow \rangle \langle \rightarrow | \rightarrow \rangle = 0 \quad (\text{۱۰-۳}) \\ \Rightarrow \quad \quad \quad \langle \rightarrow | P_1 | \rightarrow \rangle &= 0 \end{aligned}$$

حال اگر آلیس رشته بیتی برای باب بفرستد، طبق معادلات بالا پیش می‌رویم. به طوری که آلیس یک سری حالتها شامل $\langle \uparrow |$ و $\langle \rightarrow |$ به صورت تصادفی برای باب می‌فرستد، ضمناً در این پروتکل $\langle \uparrow | \uparrow \rangle$ و $\langle \rightarrow | \rightarrow \rangle$ معرف ۱ است. حال فرض می‌کنیم آلیس رشته‌ی زیر را برای باب بفرستد،

$$10011001 \quad |\rightarrow\rangle|\uparrow\rangle|\uparrow\rangle|\rightarrow\rangle|\rightarrow\rangle|\uparrow\rangle|\uparrow\rangle|\rightarrow\rangle$$

آنگاه باب پراتورهای تصویر را اندازه می‌گیرد و به صورت تصادفی P_0 و P_1 را روی آنها اثر می‌دهد، آنهایی که نتیجه‌ی مثبت می‌گیرد، درست محاسبه شده‌اند و آنهایی که نتیجه‌ی ۰ می‌دهند را می‌-

شوند:

P_1	P_0	P_1	P_1	P_0	P_0	P_1	P_0
$ \rightarrow \rangle$	$ \uparrow \rangle$	$ \uparrow \rangle$	$ \rightarrow \rangle$	$ \rightarrow \rangle$	$ \uparrow \rangle$	$ \uparrow \rangle$	$ \rightarrow \rangle$
0	0	+	0	+	0	+	+

جدول (۳-۲) نحوه محاسبه کلید در پروتکل B92

باب نتایج را به آلیس گزارش می‌دهد و مثلاً می‌گوید شماره‌های ۳ و ۵ و ۷ و ۸، + هستند و آلیس می‌داند که شماره‌های ارائه شده چه هستند. پس می‌فهمد که باب چه کار کرده، پس کلید رمز را تا اینجا ۰۱۰۱ در نظر می‌گیرند. حالا برای سنجش حضور یا عدم حضور استراق سمع کننده باید قبل از ارسال کل پیام به صورت تصادفی چند اندازه‌گیری را برای هم ارسال کنند، مثلاً شماره ۵ را می‌گوید P_1 اعمال کردیم و + بدست آمده است. اگر مشوش شده باشد این گونه آلیس می‌فهمد که استراق-
سمع کننده حضور دارد و در این صورت پروتکل را متوقف کرده و دوباره از اول شروع می‌کنند.
پس از آنها بارت و هاردی و کنت [۲۱] پروتکلی برای رمزنگاری ارائه کردند که در آن پروتکل فقط به غیر موضوعیت توجه داشتند و این بسیار حائز اهمیت است چرا که منجر به پروتکل‌های مستقل از دستگاه شد یعنی عملکرد این پروتکل‌ها به گونه‌ای است که حتی اگر استراق سمع کننده حالت سیستم را توزیع کرده باشد، باز هم اینمی‌حفظ می‌شود و اطلاعات به صورت ایمن منتقل می‌گردد.

فصل چهارم

پروتکل مستقل از دستگاه

۱-۴ مقدمه

در پروتکل BB84 آليس حالات سیستم را اندازه می‌گیرد و این گونه آليس تعیین می‌کند که باب باید چه حالتی را برای سیستم بدست آورد. به همین دلیل می‌گوییم که در این پروتکل، آليس حالت سیستم را توزیع می‌کند و پروتکل کاملاً وابسته به دستگاه است [۱۴]. ما برای امنیت بیشتر سیستم به دنبال رفع این مشکل هستیم [۳۲]، چرا که اگر به جای آليس استراق سمع کننده^۱ حالت را توزیع کند، در این صورت خطا زیاد شده و اطلاعات ارسالی به خطر می‌افتد. در این پایان نامه به بررسی چگونگی رفع این مشکل می‌پردازیم یعنی به دنبال پروتکلی هستیم که مستقل از دستگاه^۲ باشد. منبع اصلی که در این راه ما را یاری می‌کند یکی از خصوصیات مهم جهان کوانتمی، وابستگی به زمینه^۳ است که در متناقض نمای کوشن-اسپکر^۴ [۱۹] متبلور شده است. نهایتاً ما به دنبال پروتکلی شبیه به BBM هستیم [۱۶] به طوری که به دستگاه وابسته نباشد.

۲-۴ پروتکل مستقل از دستگاه

این پروتکل براساس یک جفت سیستم است که یکی نزد آليس باقی می‌ماند و دیگری به سمت باب ارسال می‌شود، این گونه اطلاعات به دست استراق سمع کننده نمی‌رسد. در این پروتکل علاوه بر وابستگی به زمینه به طور ضمنی غیروضعیت هم شرکت دارد، در ادامه خواهیم دید که در حقیقت ارتباط عمیقی میان متناقض نمای کوشن-اسپکر و نامساوی بل [۱۰] برقرار است [۲۷]. پس برای بررسی امنیت سیستم یا اثبات عدم حضور استراق سمع کننده، به دنبال نقض یک نامساوی بل براساس همبستگی‌ها، هستیم. نقض این نامساوی از طریق اصل مهمی به نام اصل علیت اطلاعات انجام می‌شود [۲۴]. این اصل یک مفهوم مهم در فیزیک کوانتمی است که در نتیجه‌ی اصل عدم

¹ Eve(Evesdropper)

² Divise-indeendent

³ contextuality

⁴ Kochen-Speker paradox

علامت‌دهی به وجود می‌آید و بر این دلالت دارد که برای ما همبستگی‌های قوی‌تر از قوی‌ترین همبستگی‌های کوانتمی ایجاد می‌کند.

این اصل به عنوان نتیجه باعث بروز خصوصیاتی مثل تکثیرناپذیری و تصادفی ذاتی^۱ در مبادله‌ی اطلاعات در سیستم می‌شود. در اینجا از مفهوم جعبه‌ای که شامل مجموعه‌ای از توزیع‌های احتمال است، استفاده خواهیم کرد، منظور از جعبه‌ایین است که تعداد مشخصی ورودی و خروجی دارد و هر خروجی متناظر با یک ورودی مخصوص به خود است. ورودی‌ها، مشاهده‌پذیرهای ساده‌ای هستند و جعبه، مکانیک کوانتمی را ارضاء می‌کند یعنی از طریق فیزیکی قابل فهم است، به بیان دیگر چون تعداد توزیع‌های احتمال، مشخص و متناهی است، آنها به صورت آماری بدون هیچ اطلاعاتی راجع به چگونگی ساخته شدن سیستم قابل آزمایش هستند و خروجی‌ها نتیجه‌ی اندازه‌گیری مشاهده‌پذیرها هستند. در این پروتکل، این جعبه‌ها از طریق متناضن‌نمای کوشن-اسپکر کار می‌کنند یعنی یک جعبه دو طرفه کوشن-اسپکر خواهد بود که ویژگی‌های آن عبارتند از:

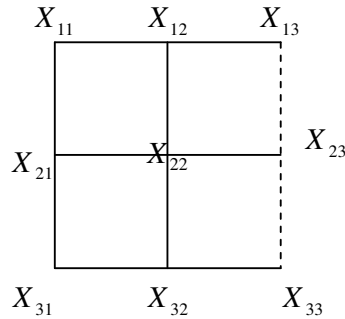
این جعبه نتایج موضعی شرایط کوشن-اسپکر(KS) [۱۹] که بعداً توضیح داده خواهد شد، را ارضاء می‌کند که آن‌ها باید از مشاهده‌پذیرهایی که نمی‌توانند به طور همزمان اندازه گیری شوند (یعنی با هم جا به جا نمی‌شوند) استفاده کنند و از طرف دیگر اگر مشاهده‌پذیرهای انتخابی آليس و باب با هم یکسان باشند، با هم همبستگی کامل خواهند داشت، البته در ادامه اثبات خواهیم کرد که در شرایط ایده‌آل، در این چنین حالتی تقریباً نصف ایمنی سیستم تضمین می‌شود.

۳-۴ جعبه‌های پرس-مرمین

برای به اشتراک گذاشتن یک پیام کوانتمی با توجه به همبستگی‌های کوانتمی، می‌توان اطلاعات را با استفاده از جعبه‌های پرس-مرمین [۲۵] و [۲۶] که از شرط عدم علامت‌دهی تبعیت می‌کنند،

^۱Intrinsic randomness

فرستاد. در این جعبه‌ها از روش پرس-مرمین^۱ که بیانی واضح‌تر از متناقض‌نمای کوشن-اسپکر است را مدنظر قرار می‌دهیم. همانطور که در شکل ۱ مشاهده می‌شود، جعبه پرس-مرمین که به اختصار آن را جعبه PM می‌نامیم، مجموعه‌ای از توزیع‌های احتمال توأم است که هر توزیع احتمال از ۳ مشاهده پذیر تشکیل شده است. این جعبه دارای ۹ مشاهده پذیر به عنوان ورودی است که آرایه‌های یک ماتریس 3×3 را می‌سازد و در هر سطر یا ستون مشاهده‌پذیری‌های دوطرفه می‌توانند به طور همزمان اندازه‌گیری شوند، ولی نمی‌توان همه‌ی ۹ مشاهده پذیر را همزمان اندازه گرفت و ما انتظار داریم که این جعبه شرایط زیر را ارضا کند، یعنی اینکه حاصل ضرب نتایج اندازه‌گیری توزیع‌های احتمال توامان^۲ در سطرها برابر با مقدار $+1$ و حاصل ضرب نتایج اندازه‌گیری توزیع‌های احتمال توامان در ستون‌ها برابر با مقدار -1 است و این شرایط KS است.



شکل(۱-۴) ماتریس 3×3 که هر X_{ii} ، یک مشاهده‌پذیر است.

اگر برای ماتریس بالا مشاهده‌پذیرها را شبیه به جدول (۱-۴) انتخاب کنیم و یک سیستم دودویی را مدنظر قرار دهیم، σ ماتریس های پائولی سیستم Ω است که برای هر سطر یا ستون، می‌توان مشاهده‌پذیرها را به طور همزمان اندازه گرفت. نظریه‌ای که توسط انسشتین و بوهر روی آن بحث شد، این بود که آن‌ها معتقد بودند مقادیر کوانتومی از قبل وجود داشته و ما آن‌ها را طی شرایطی آشکار

¹ Peres-Mermin version

² Joint probability

می‌کنیم. مکانیک کوانتموی با آن‌ها مخالف است و معتقد است که حالات کوانتموی مقادیر مشخص ندارند، چرا که اگر این‌گونه بود، باید طی هر شرایطی یک مقدار بدست می‌آمد اما با توجه به متناقض-نمای کوشن-اسپکر اثبات شد که بسته به زمینه‌ی اندازه‌گیری، حاصل ضرب مقادیر آن‌ها یا $+1$ و یا -1 می‌باشد و این یعنی وابستگی به زمینه. در این شرایط مشاهده‌پذیرهای هر سطر و هر ستون با هم جا به جا می‌شوند و به عبارتی به طور همزمان قابل اندازه‌گیری هستند اما یک مشاهده‌پذیر از سطر و یکی از ستون را نمی‌توان همزمان اندازه گرفت، پس به همین دلیل نمی‌توان همه‌ی ۹ مشاهده‌پذیر را همزمان اندازه گرفت. نهایتاً متناقض‌نمای کوشن-اسپکر بر حسب نامساوی‌هایی معرفی شد که وابستگی به زمینه را بررسی می‌کردند.

σ_z^1	σ_z^2	$\sigma_z^1 \sigma_z^2$
σ_x^2	σ_x^1	$\sigma_x^2 \sigma_x^1$
$\sigma_z^1 \sigma_x^2$	$\sigma_z^2 \sigma_x^1$	$\sigma_y^1 \sigma_y^2$

جدول (۴-۱) جدول ماتریس‌های پائولی که مشاهده می‌شود به عنوان مشاهده‌پذیرهای سیستم در نظر می‌گیریم.

در زیر ابتدا طبق جدول بالا، اثبات خواهیم کرد که گفته‌های بالا درست است یعنی مشاهده‌پذیرهای هر سطر یا ستون (هر توزیع احتمال) همزمان قابل اندازه‌گیری است و سپس وابستگی به زمینه را اثبات خواهیم کرد. اگر مثلاً سطر اول را در نظر بگیریم، خواهیم داشت:

$$[\sigma_z^1, \sigma_z^2] = 0 \quad (1-4)$$

$$[\sigma_z^1, \sigma_z^1 \sigma_z^2] = \sigma_z^1 [\sigma_z^1, \sigma_z^2] + [\sigma_z^1, \sigma_z^1] \sigma_z^2 = 0$$

$$[\sigma_z^2, \sigma_z^1 \sigma_z^2] = \sigma_z^1 [\sigma_z^2, \sigma_z^2] + [\sigma_z^2, \sigma_z^1] \sigma_z^2 = 0$$

اما مثلاً برای مشاهده‌پذیری از سطر اول و سطر دوم این شرط وجود ندارد.

$$[\sigma_z^1, \sigma_x^1] \neq 0 \quad (2-4)$$

حال به اثبات وابستگی به زمینه می‌پردازیم، اگر سطر سوم و ستون سوم را مدنظر قرار دهیم، با توجه به شرایط مقابل خواهیم داشت:

$$\begin{aligned} [\sigma_i^1, \sigma_j^2] &= 0 \\ \sigma_i^1 \sigma_j^1 &= i \epsilon_{ijk} \sigma_k^1 \end{aligned} \quad (3-4)$$

$$\begin{aligned} row : \sigma_z^1 \sigma_x^2 \sigma_z^2 \sigma_x^1 \sigma_y^1 \sigma_y^2 &= \sigma_z^1 \sigma_x^2 \sigma_x^1 \sigma_z^2 \sigma_y^1 \sigma_y^2 \\ &= \sigma_z^1 \sigma_x^1 \sigma_x^2 \sigma_z^2 \sigma_y^1 \sigma_y^2 = i \sigma_y^1 (-i) \sigma_y^2 \sigma_y^1 \sigma_y^2 = +1 \end{aligned} \quad (4-4)$$

$$\begin{aligned} column : \sigma_z^1 \sigma_z^2 \sigma_x^2 \sigma_x^1 \sigma_y^1 \sigma_y^2 &= \sigma_z^1 i \sigma_y^2 \sigma_x^1 \sigma_y^1 \sigma_y^2 \\ &= i \sigma_z^1 \sigma_x^1 \sigma_y^2 \sigma_y^1 \sigma_y^2 = i \sigma_y^1 i \sigma_y^2 \sigma_y^1 \sigma_y^2 = -1 \end{aligned}$$

همانطور که مشاهده شد، ترتیب قرار گرفتن مشاهده‌پذیرها در جواب آن‌ها تأثیر می‌گذارد و این همان وابستگی به زمینه است. حال جعبه‌ی PM توزیع شده در جدول (۱-۴) را مدنظر قرار داده و تصادفی ذاتی را روی آن بررسی می‌کنیم:

جعبه‌ای که تعریف کردیم ما بین آلیس و باب به طور مشترک اندازه‌گیری می‌شود که مشاهده-پذیرهای آن به صورت موضعی شرایط اشاره شده را به صورت زیر ارضا می‌کنند (شرایط KS و همبستگی‌های AB). وقتی آلیس در ستون اول σ_z^1 را اندازه می‌گیرد، در کل جعبه σ_z^1 را نداریم و این یعنی زمینه آزمایش یکی است و آلیس در 9 زمینه می‌تواند سیستم را اندازه بگیرد و برای باب هم وضع به همین ترتیب است. به علاوه ما همبستگی‌های AB هم در نظر می‌گیریم یعنی که همبستگی‌های کاملی میان نتایج مشاهده‌پذیرهای مشابه در طرف آلیس و باب وجود دارد. به این گونه که اگر آلیس، σ_z^1 را اندازه بگیرد و باب هم σ_z^1 را اندازه بگیرد و با توجه به حالت در هم‌تینیده

اصلی سیستم، آن‌ها باید با هم همبستگی داشته باشند. همچنین در این جعبه شرط دیگری به نام عدم علامت‌دهی را مورد بررسی قرار می‌دهیم و همانطور که قبل اشاره شد، بر این معناست که هر چه آلیس اندازه می‌گیرد نمی‌تواند با سرعت بیشتر از سرعت نور به باب منتقل شود یا به عبارت دیگر، مجموع احتمال‌های طرف آلیس برای یک سیستم باید مستقل از مجموع احتمالات طرف باب باشد.

حال تأکید می‌کنیم که جعبه‌ی PM بصورت ضروری بر غیرموضعیت دلالت دارد. در واقع عدم وابستگی به زمینه به غیرموضعیت تبدیل می‌شود. به طور کلی جعبه‌ی تعریف شده از ۹ توزیع شرطی $p(\vec{ab}|\vec{x}, \vec{y})$ که در اینجا $A=1,2,3$ و $B=1,2,3$ که شماره‌ی درآیهی سطر یا ستون است و $a=a_1 a_2 a_3$ که نتایج اندازه گیری آلیس هستند و $b=b_1 b_2 b_3$ که نتایج اندازه گیری باب در سطرهاست و شرایط زیر به طور کلی حاکم است.

(۱) شرایط KS : برای $A=1,2$ و $B=1,2,3$ نتایج اندازه گیری توزیع‌های احتمال $1+1$ است یعنی سطرهای سطرها و ستون ما قبل آخر، $\{+++,-+-,-+-,-++\}$ و برای $A=3$ و $B=1,2,3$ نتایج اندازه‌گیری توزیع‌های احتمال توأم‌ان $1-1$ - یعنی ستون سوم که شامل،

$$a \in \{---, -++ , + -+ , ++-\}$$
 است.

(۲) شرایط همبستگی AB : برای $A=i$ و $B=j$ نتایج اندازه‌گیری $a_i = b_j$ است به عبارت دیگر به ازای انتخاب مشاهده‌پذیرهای مشابه برای دو طرف باید ویژه مقادیر یکسان در دو طرف بدست آید.

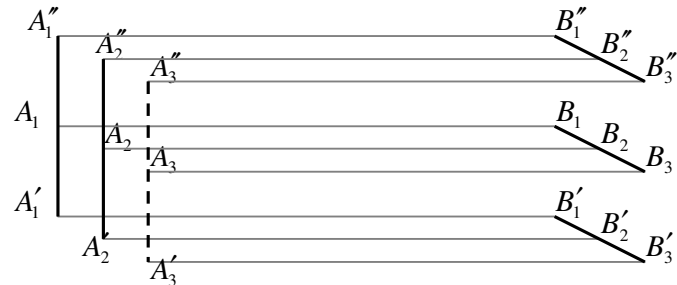
(۳) شرط عدم علامت دهی : مجموع احتمال اندازه گیری روی سیستم A مستقل از مجموع احتمالات اندازه گیری روی سیستم B است.

۴-۴ تصادفی ذاتی از جعبه PM توزیع شده ایده‌آل

ما اکنون فرض خواهیم کرد که یک جعبه PM توزیع شده، مکانیک کوانتمی را ارضا می‌کند و در این صورت ما در یک الگوی امنیت مستقل از دستگاه هستیم [۲۳] که فرض می‌شود، مکانیک کوانتمی معتبر است.

حال به دنبال این هستیم نشان دهیم که در سطر اول طرف باب، طبق گفته‌ی مکانیک کوانتومی همه مشاهده‌پذیرها نمی‌توانند مقادیر قطعی $+1$ را داشته باشند ولی باید حاصلضرب آن‌ها مقدار $+1$ باشد. پس می‌تواند چهار حالت $(+, +, -, -)$ را داشته باشد. با فرض اینکه مقادیر در سطر اول همگی $+1$ باشند و با استفاده از شرایط KS و همبستگی‌های AB، یک سیستم همبسته را تعیین خواهیم کرد. با توجه به شرایط KS داریم، $B_3' = B_1' B_2'$ و $B_3 = B_1 B_2$. (این شرایط را برای طرف A نمی‌توان در نظر گرفت، چون آن‌ها سطرهای را محاسبه نکرده‌اند.) فرض می‌کنیم که سطر بالایی باب با قطعیت نتایج $(+, +, +)$ را بدهد، این بدان معنی است که با توجه به همبستگی‌های AB مشاهده‌پذیرهای سطر بالایی از هر سطر آلیس، مقدار $+1$ را بدهد، به عبارت دیگر با توجه به شکل (۴-۲) با قطعیت خواهیم داشت:

$$A_1'' = +1, \quad A_2'' = +1, \quad A_3'' = +1 \quad (5-4)$$



شکل (۴-۴) ارتباط میان آلیس و باب در پروتکل مستقل از دستگاه، به طوری که هر کدام ۹ مشاهده‌پذیر دارند که با هم همبستگی دارند.

بنابراین به علت شرایط KS خواهیم داشت:

$$A_1 = A'_1 \quad , \quad A_2 = A'_2 \quad , \quad A_3 = -A'_3 \quad (6-4)$$

از طرف دیگر، با توجه به همبستگی‌های AB می‌دانیم که همه مشاهده‌پذیرها همبستگی کامل با

مشاهده‌پذیرهای متناظرشان دارند (برای همه i ها). $A_i = B_i \quad , \quad A'_i = B'_i \quad , \quad A''_i = B''_i$

پس در این صورت، ما همبستگی‌های زیر را در کل سیستم تعیین می‌کنیم:

$$\begin{aligned} A_1 &= B_1 & A_1 &= B'_1 \\ A_2 &= B_2 & A_2 &= B'_2 \\ A_3 &= B_3 & A_3 &= -B'_3 \end{aligned} \quad (7-4)$$

پس علاوه بر همبستگی‌های کامل برای جفت‌های (A_i, B_i) با مقدار $i = 1, 2, 3$ ، همبستگی‌های

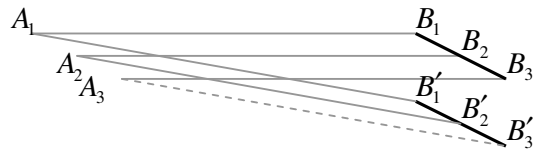
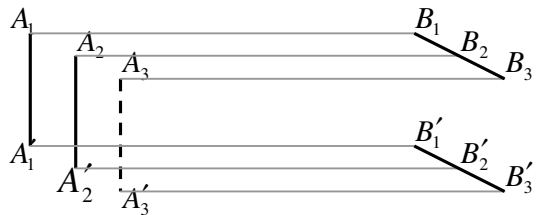
کاملی برای جفت‌های (A_1, B'_1) و (A_2, B'_2) و ناهمبستگی‌های کاملی برای (A_3, B'_3) خواهیم داشت

که در شکل (3-4) به وضوح نمایش داده شده است.

سه مشاهده‌پذیر آليس و ۶ مشاهده‌پذیر برای باب داریم. اکنون همبستگی‌های (7-4) را با توجه به

فرمولبندی نامساوی‌های بل به صورت زیر فرمولبندی می‌کنیم:

$$\gamma(A : B) \equiv \langle A_1 B_1 \rangle + \langle A_2 B_2 \rangle + \langle A_3 B_3 \rangle + \langle A_1 B'_1 \rangle + \langle A_2 B'_2 \rangle - \langle A_3 B'_3 \rangle \leq 4 \quad (8-4)$$



شکل (۴-۳) نحوه طراحی نامساوی بل. در شکل بالا همانطور که گفته شد مقادیر سطر اول باب و آليس را $+1$ در نظر گرفته‌ایم، پس شکل (۲-۴) به این صورت در آمد و با توجه به همبستگی‌ها خلاصه می‌شود و از آن نامساوی بل طراحی می‌شود.

همبستگی‌های رابطه (۷-۴) به این معنی است که مقدار نامساوی $\gamma(A:B)=6$ است و چون این مقدار برای حالت خاصی از سیستم بدست آمده نمی‌توان گفت در حالت کلی، γ لزوماً ۶ است. حال به دنبال محدودیتی برای توزیع احتمالات سطر اول باب به صورت کلی‌تر هستیم و سپس ارتباطی میان درجه‌ی نقض نامساوی بل و محدودیت روی توزیع احتمال سطر اول باب بدست می‌آوریم. از طرفی برای بررسی این‌نی سیستم به دنبال نقض هرچه قوی‌تر نامساوی (۸-۴) هستیم. بنابراین از روشی آماری که اصل علیت اطلاعات نام دارد، برای نقض این نامساوی بل استفاده خواهیم کرد. برای این هدف از نامساوی معادل بر حسب همبستگی‌ها استفاده می‌کنیم.

$$\begin{aligned} \beta(A:B) &\equiv P(A_1 = B_1) + P(A_2 = B_2) + P(A_3 = B_3) \\ &+ P(A_1 = B'_1) + P(A_2 = B'_2) + P(A_3 \neq B'_3) \leq 5 \end{aligned} \quad (9-4)$$

با توجه به این دو می‌توان نتیجه گرفت:

$$\beta(A:B) = \frac{1}{2}[\gamma(A:B) + 6] \quad (10-4)$$

در حالت ایده‌آل برای همبستگی‌های AB خواهیم داشت:

$$p(A_1 = B_1) = p(A_2 = B_2) = p(A_3 = B_3) = 1 \quad (11-4)$$

حالا ما میان احتمالات دیگر با توزیع سطر اول باب ارتباط برقرار خواهیم کرد، اگر توزیع سطر اول

باب را با q_i و $i=0,1,2,3$ نشان دهیم، خواهیم داشت:

$$\begin{aligned} q_0 &= \Pr(+, +, +) \\ q_1 &= \Pr(+, -, -) \\ q_2 &= \Pr(-, +, -) \\ q_3 &= \Pr(-, -, +) \end{aligned} \quad (12-4)$$

و q_i ‌ها را توزیع‌های احتمال تؤمنان می‌نامیم و \Pr توزیع احتمال است و داریم:

$$q_0 + q_1 + q_2 + q_3 = 1$$

حال توزیع‌های حاشیه‌ای¹ هر مشاهده‌پذیر از سطر را بررسی می‌کنیم. منظور از توزیع‌های احتمال حاشیه‌ای زیرمجموعه‌ای از مجموعه‌ی متغیرهای تصادفی است که اصطلاحاً آن‌ها را متغیرهای حاشیه‌ای می‌نامیم و آن‌ها به محاسبه‌ی مجموع مقادیر روی هر سطر یا هر ستون می‌پردازند به طوری که اگر p_i احتمال آن باشد که ما برای مشاهده‌پذیر i ، مقدار $+1$ را تعیین کنیم، آنرا با $p_i = \Pr(B''_i = +1)$ نشان می‌دهیم. به طور کلی این‌گونه نشان می‌دهیم که $p_i(k) = \Pr(B''_i = k)$ و برای $k = \pm 1$. حال ما رابطه‌ی میان p_i ‌ها و q_i ‌ها را بدست می‌آوریم. برای p_1 ، از چهار توزیع احتمال هر کدام که دارای مقدار $B''_1 = +1$ است را در نظر می‌گیریم، پس:

$$p_1 = q_0 + q_1$$

¹ marginal

و به همین ترتیب:

$$\begin{aligned} p_2 &= q_0 + q_2 \\ p_3 &= q_0 + q_3 \end{aligned} \quad (13-4)$$

مجموع p_i ها ۱ نمی‌شود، چرا که آن‌ها از سه توزیع احتمال متفاوت از هم ($p_i, 1-p_i$) ساخته شده‌اند و مجموع آن‌ها به صورت زیر می‌باشد:

$$p_1 + p_2 + p_3 = q_0 + q_1 + q_0 + q_2 + q_0 + q_3 = 1 + 2q_0$$

و با استفاده از آن ارتباط میان q_i ها و p_i ها را بدست می‌آوریم:

$$\begin{aligned} p_1 + p_2 + p_3 - 1 &= 2q_0 \\ \Rightarrow \quad q_0 &= \frac{1}{2}[-1 + p_1 + p_2 + p_3] \end{aligned}$$

$$\begin{aligned} p_1 - p_2 - p_3 &= q_0 + q_1 - q_0 - q_2 - q_0 - q_3 + q_1 - q_1 = 2q_1 - 1 \\ \Rightarrow \quad q_1 &= \frac{1}{2}[1 + p_1 - p_2 - p_3] \end{aligned}$$

$$\begin{aligned} -p_1 + p_2 - p_3 &= -q_0 - q_1 + q_0 + q_2 - q_0 - q_3 - q_2 + q_2 = -1 + q_2 \\ \Rightarrow \quad q_2 &= \frac{1}{2}[1 - p_1 + p_2 - p_3] \end{aligned} \quad (14-4)$$

$$\begin{aligned} -p_1 - p_2 + p_3 &= -q_0 - q_1 - q_0 - q_2 + q_0 + q_3 + q_3 - q_3 = 2q_3 - 1 \\ \Rightarrow \quad q_3 &= \frac{1}{2}[1 - p_1 - p_2 + p_3] \end{aligned}$$

در نگاه اول، ممکن است به نظر برسد که q_i ها در روابط بالا باید منفی باشد، اما یادآوری می‌کنیم که p_i ها به علت تبعیت از شرایط KS مانع از این موضوع خواهند شد. حال در این مرحله محدودیت-

هایی روی p_i ها بدست می‌آوریم و سپس آن‌ها را بر حسب q_i ها می‌نویسیم.

همانطور که در شرایط KS آمده است حاصل ضرب نتایج اندازه‌گیری ستون اول باید $+1$ باشد و با توجه به شرطی که برای سطر اول باب در نظر گرفتیم و شرایط همبستگی $AB = +1_1$ باید $A'' = A'$ باشد از طرفی برای ارضا شدن شرایط KS باید $A'_1 = A''_1$ باشند. بنابراین برای توزیع احتمال در طرف آليس رابطه‌ی زیر را خواهیم داشت:

$$\Pr(A_1 = A'_1) = \Pr(A''_1 = +1) = p_1 \quad (15-4)$$

به طور مشابه:

$$\begin{aligned} \Pr(A_2 = A'_2) &= p_2 \\ \Pr(A_3 = A'_3) &= p_3 \end{aligned} \quad (16-4)$$

حالا با بررسی سه رویداد زیر:

$$X = \{A_1 = A'_1\} ; Y = \{A'_1 = B'_1\} ; Z = \{A_1 = B'_1\} \quad (17-4)$$

واضح است که $X \cap Y \subset Z$ و با استفاده از نامساوی که از قبل می‌شناختیم برای هر رویداد خواهیم داشت:

$$\Pr(Z) = \Pr(X \cap Y) \geq P(X) + P(Y) - 1 \quad (18-4)$$

در این صورت پس از جایگذاری سه رویداد در نامساوی بالا نامساوی زیر را بدست خواهیم آورد:

$$\Pr(A_1 = B'_1) \geq \Pr(A_1 = A'_1) + \Pr(A'_1 = B'_1) - 1 \quad (19-4)$$

که در فرمول (۱۵-۴) ارائه شد و با توجه به شرایط همبستگی های AB خواهیم

داشت:

$$\Pr(A_1 = B'_1) \geq p_1 + 1 - 1 = p_1 \quad (20-4)$$

و به طور مشابه برای بقیه هم خواهیم گفت:

$$\begin{aligned} \Pr(A_2 = B'_2) &\geq p_2 \\ \Pr(A_3 \neq B'_3) &\geq p_3 \end{aligned} \quad (21-4)$$

بنابراین با جایگذاری روابط (۲۰-۴) و (۲۱-۴) و اعمال همبستگی های AB در نامساوی (۹-۴) به

صورت زیر بدست خواهیم آورد:

$$\begin{aligned} \beta(A:B) &\equiv \Pr(A_1 = B_1) + \Pr(A_2 = B_2) + \Pr(A_3 = B_3) + \Pr(A_1 = B'_1) + \\ &\Pr(A_2 = B'_2) + \Pr(A_3 \neq B'_3) \geq 3 + p_1 + p_2 + p_3 \end{aligned} \quad (22-4)$$

بنابراین ارتباط میان p_i ها و β به صورت زیر خواهد بود:

$$\beta(A:B) \equiv 3 + p_1 + p_2 + p_3 \quad (23-4)$$

که با استفاده از لم زیر خواهیم داشت:

لم ۱: اگر β نامساوی بل (۹-۴) را نشان دهد و p_i ها احتمال بدست آوردن مقدار ۱ را در طول

اندازه گیری مشاهده پذیر λ سطر اول باب باشد، سپس

$$p_1 + p_2 + p_3 \leq \beta - 3 \quad (24-4)$$

لم با تجزیه و تحلیل یک موقعیت برای باب هنگامی که خروجی $+++$ هستند در سطر اول با تعدادی احتمال، که ضرورتاً برابر با ۱ نیست، تعیین شده است. در یک راه مشابه می‌توان برای سه حالت دیگر $, + - -, + + -$ و $+ - +$ محاسبه کرد. می‌توان دوباره همبستگی‌ها و ناهمبستگی‌ها کامل برای مشاهده پذیرهای (۷-۴) تعریف کرد. مثلاً برای حالت $- - +$ ، A_2 و B'_2 ناهمبستگی دارند و برای $- + . i = 1, 2, 3$ ، A'_i و B'_i ناهمبستگی دارند و نهایتاً برای $- - +$ ، A_i و B'_i ناهمبستگی دارند، به ازای $\beta_1, \beta_2, \beta_3$ کمیت‌های بل هستند که همگی آنها با کمیت β ، معادل می‌باشند. بنابراین مقادیر بیشینه مکانیک کوانتموی همه این کمیات یکسان است و ما این بیشینه مقدار را β_0 نامیم و با این تعریف برای ارائه حدود نقض نامساوی مکانیک کوانتموی (۹-۴)، خواهیم داشت:

$$\beta(A : B) \leq \beta_0 < 6 \quad (25-4)$$

و از طرفی داریم:

$$\beta \geq p_1 + p_2 + p_3 + 3 \Rightarrow \beta_0 - 3 \geq p_1 + p_2 + p_3 \quad (26-4)$$

با تجزیه و تحلیل سه حالت نمایش داده شده مثلاً برای حالت $(- +)$ به روش مشابه بالا، با این تعریف که p_i احتمال $+$ بودن و $(1 - p_i)$ احتمال $-$ بودن است، خواهیم داشت،

$$p_1 + (1 - p_2) + (1 - p_3) \leq \beta - 3 \quad (27-4)$$

و برای حالت‌های $(- -)$ و $(+ +)$ به ترتیب به صورت زیر است:

$$(1 - p_1) + p_2 + (1 - p_3) \leq \beta - 3 \quad (28-4)$$

$$(1 - p_1) + (1 - p_2) + p_3 \leq \beta - 3$$

حال با استفاده از روابط (۱۵-۴) و توزیع های احتمال (۳۷-۴) و (۳۹-۴)، توزیع های احتمال توأمان را برای سطر اول باب به صورت زیر بدست می آوریم:

$$p_1 + 1 - p_2 + 1 - p_3 \leq \beta - 3$$

$$\frac{1}{2}(1 + p_1 - p_2 - p_3) \leq \frac{1}{2}(\beta_0 - 4)$$

و با توجه به $q_1 = \frac{1}{2}(1 + p_1 - p_2 - p_3)$ خواهیم گفت:

$$q_1 \leq \frac{1}{2}(\beta_0 - 4) \quad (۳۹-۴)$$

پس برای حالت های دیگر داریم:

$$1 - p_1 + p_2 + 1 - p_3 \leq \beta_0 - 3 \quad 1 - p_1 + p_2 - p_3 \leq \beta_0 - 4$$

$$\frac{1}{2}(1 - p_1 + p_2 - p_3) \leq \frac{1}{2}(\beta_0 - 4) \Rightarrow q_2 \leq \frac{1}{2}(\beta_0 - 4)$$

(۳۰-۴)

$$1 - p_1 + 1 - p_2 + p_3 \leq \beta_0 - 3 \quad 1 - p_1 - p_2 + p_3 \leq \beta_0 - 4$$

$$\frac{1}{2}(1 - p_1 - p_2 + p_3) \leq \frac{1}{2}(\beta_0 - 4) \Rightarrow q_3 \leq \frac{1}{2}(\beta_0 - 4)$$

برای حالت اول (+ +) هم داریم:

$$p_1 + p_2 + p_3 \leq \beta_0 - 3$$

$$-1 + p_1 + p_2 + p_3 \leq \beta_0 - 4$$

(۳۱-۴)

$$\frac{1}{2}(-1 + p_1 + p_2 + p_3) \leq \frac{1}{2}(\beta_0 - 4) \Rightarrow q_0 \leq \frac{1}{2}(\beta_0 - 4)$$

پس به طور کلی خواهیم داشت:

$$q_i \leq \frac{1}{2}(\beta_0 - 4) , i = 0,1,2,3 \quad (32-4)$$

لم ۲: همبستگی های AB و شرایط KS و ارتباط میان دو نامساوی (۱۰-۴) را به کار خواهیم برد و این حدود را بر حسب γ_0 که یک مقدار بیشینه مکانیک کوانتمویی است، به صورت زیر می‌نویسیم:

$$\begin{aligned} q_i &\leq \frac{1}{2}\left(\frac{1}{2}[\gamma_0 + 6] - 4\right) = \frac{1}{2}\left(\frac{\gamma_0}{2} - \frac{1}{2}\right) = \frac{1}{4}(\gamma_0 - 2) \\ \Rightarrow q_0 &\leq \frac{1}{4}(\gamma_0 - 2) \end{aligned} \quad (33-4)$$

و $\{q_i\}$ توزیع های احتمال توأم نتایج سطر اول باب است.

همانطور که در روابط (۳۳-۴) آمده، برای محاسبه $\{\gamma_i\}$ ها باید مقدار γ_0 را بدست آوریم. با توجه به آنچه در [۲۰]، آمده می‌توان آن را به صورت عددی محاسبه کرد. با استفاده از روابط مکانیک کوانتموی رابطه‌ی (۸-۴) را به صورت زیر بازنویسی می‌کنیم:

$$\begin{aligned} \gamma &= \langle \psi | A_1 \otimes B_1 | \psi \rangle + \langle \psi | A_2 \otimes B_2 | \psi \rangle + \langle \psi | A_3 \otimes B_3 | \psi \rangle \\ &+ \langle \psi | A_1 \otimes B'_1 | \psi \rangle + \langle \psi | A_2 \otimes B'_2 | \psi \rangle - \langle \psi | A_3 \otimes B'_3 | \psi \rangle \\ &= A_1 \cdot B_1 + A_2 \cdot B_2 + A_3 \cdot B_3 + A_1 \cdot B'_1 + A_2 \cdot B'_2 - A_3 \cdot B'_3 \end{aligned} \quad (34-4)$$

اگر مشاهده‌پذیرهایی با ویژه مقادیر $A_1, A_2, A_3, B_1, B_2, B_3, B'_1, B'_2, B'_3$ باشند و در نظر می‌گیریم که:

$$\|A_1\| = \|A_2\| = \|A_3\| = \|B_1\| = \|B_2\| = \|B_3\| = \|B'_1\| = \|B'_2\| = \|B'_3\| = 1 \quad (35-4)$$

حال اگر $\Gamma = [\gamma_{ij}]$ برای مشاهده‌پذیرهای $\{I, A_1, A_2, A_3, B_1, B_2, B_3, B'_1, B'_2, B'_3\}$ داشت:

$$\Gamma = \begin{pmatrix} I \cdot I & I \cdot A_1 & I \cdot A_2 & I \cdot A_3 & I \cdot B_1 & I \cdot B_2 & I \cdot B_3 & I \cdot B'_1 & I \cdot B'_2 & I \cdot B'_3 \\ A_1 \cdot I & A_1 \cdot A_1 & A_1 \cdot A_2 & A_1 \cdot A_3 & A_1 \cdot B_1 & A_1 \cdot B_2 & A_1 \cdot B_3 & A_1 \cdot B'_1 & A_1 \cdot B'_2 & A_1 \cdot B'_3 \\ A_2 \cdot I & A_2 \cdot A_1 & A_2 \cdot A_2 & A_2 \cdot A_3 & A_2 \cdot B_1 & A_2 \cdot B_2 & A_2 \cdot B_3 & A_2 \cdot B'_1 & A_2 \cdot B'_2 & A_2 \cdot B'_3 \\ A_3 \cdot I & A_3 \cdot A_1 & A_3 \cdot A_2 & A_3 \cdot A_3 & A_3 \cdot B_1 & A_3 \cdot B_2 & A_3 \cdot B_3 & A_3 \cdot B'_1 & A_3 \cdot B'_2 & A_3 \cdot B'_3 \\ B_1 \cdot I & B_1 \cdot A_1 & B_1 \cdot A_2 & B_1 \cdot A_3 & B_1 \cdot B_1 & B_1 \cdot B_2 & B_1 \cdot B_3 & B_1 \cdot B'_1 & B_1 \cdot B'_2 & B_1 \cdot B'_3 \\ B_2 \cdot I & B_2 \cdot A_1 & B_2 \cdot A_2 & B_2 \cdot A_3 & B_2 \cdot B_1 & B_2 \cdot B_2 & B_2 \cdot B_3 & B_2 \cdot B'_1 & B_2 \cdot B'_2 & B_2 \cdot B'_3 \\ B_3 \cdot I & B_3 \cdot A_1 & B_3 \cdot A_2 & B_3 \cdot A_3 & B_3 \cdot B_1 & B_3 \cdot B_2 & B_3 \cdot B_3 & B_3 \cdot B'_1 & B_3 \cdot B'_2 & B_3 \cdot B'_3 \\ B'_1 \cdot I & B'_1 \cdot A_1 & B'_1 \cdot A_2 & B'_1 \cdot A_3 & B'_1 \cdot B_1 & B'_1 \cdot B_2 & B'_1 \cdot B_3 & B'_1 \cdot B'_1 & B'_1 \cdot B'_2 & B'_1 \cdot B'_3 \\ B'_2 \cdot I & B'_2 \cdot A_1 & B'_2 \cdot A_2 & B'_2 \cdot A_3 & B'_2 \cdot B_1 & B'_2 \cdot B_2 & B'_2 \cdot B_3 & B'_2 \cdot B'_1 & B'_2 \cdot B'_2 & B'_2 \cdot B'_3 \\ B'_3 \cdot I & B'_3 \cdot A_1 & B'_3 \cdot A_2 & B'_3 \cdot A_3 & B'_3 \cdot B_1 & B'_3 \cdot B_2 & B'_3 \cdot B_3 & B'_3 \cdot B'_1 & B'_3 \cdot B'_2 & B'_3 \cdot B'_3 \end{pmatrix} \quad (36-4)$$

با توجه به آن که در این صورت $\Gamma = X^\dagger X$ و $X = \{I, A_1, A_2, A_3, B_1, B_2, B_3, B'_1, B'_2, B'_3\}$

است. حال ماتریس W با استفاده از نامساوی به صورت زیر می‌نویسیم:

$$W = \begin{pmatrix} 0 & 0 & 0 & 0 & 0 & 0 & 0 & 0 & 0 & 0 \\ 0 & 0 & 0 & 0 & 1 & 0 & 0 & 1 & 0 & 0 \\ 0 & 0 & 0 & 0 & 0 & 0 & 1 & 0 & 0 & 1 \\ 0 & 0 & 0 & 0 & 0 & 0 & 0 & 1 & 0 & 0 \\ 0 & 1 & 0 & 0 & 0 & 0 & 0 & 0 & 0 & 0 \\ 0 & 0 & 1 & 0 & 0 & 0 & 0 & 0 & 0 & 0 \\ 0 & 0 & 0 & 1 & 0 & 0 & 0 & 0 & 0 & 0 \\ 1 & 0 & 0 & 0 & 0 & 0 & 0 & 0 & 0 & 0 \\ 0 & 1 & 0 & 0 & 0 & 0 & 0 & 0 & 0 & 0 \\ 0 & 0 & -1 & 0 & 0 & 0 & 0 & 0 & 0 & 0 \end{pmatrix} \quad (37-4)$$

اکنون اگر مسئله را از طریق برنامه‌نویسی به روش SDP که مخفف SemiDefinite Programming است به معنی برنامه‌نویسی به روش نیمه معین است [۳۱] و برای ماتریس‌های بزرگتر و مساوی صفر استفاده می‌شود، بازنویسی کنیم، خواهیم داشت که:

$$\begin{aligned} \max \quad & \gamma \\ \text{subject to} \quad & \frac{1}{2} \operatorname{Tr}(\Gamma W), \Gamma \geq 0, \forall \gamma_{ij} = 1 \end{aligned} \quad (38-4)$$

حال اگر با توجه به شرایط در نظر گرفته شده، معادله‌ی زیر را محاسبه کنیم:

$$\frac{1}{2} \operatorname{Tr}[\Gamma] = \begin{pmatrix} 1 & 0 & 0 & 0 & 0 & 0 & 0 & 0 & 0 & 0 \\ 0 & 1 & 0 & 0 & 1 & 0 & 0 & 1 & 0 & 0 \\ 0 & 0 & 1 & 0 & 0 & 1 & 0 & 0 & 1 & 0 \\ 0 & 0 & 0 & 1 & 0 & 0 & 1 & 0 & 0 & -1 \\ 0 & 1 & 0 & 0 & 1 & 0 & 0 & 1 & 0 & 0 \\ 0 & 0 & 1 & 0 & 0 & 1 & 0 & 0 & 1 & 0 \\ 0 & 0 & 0 & 1 & 0 & 0 & 1 & 0 & 0 & -1 \\ 0 & 1 & 0 & 0 & 1 & 0 & 0 & 1 & 0 & 0 \\ 0 & 0 & 1 & 0 & 0 & 1 & 0 & 0 & 1 & 0 \\ 0 & 0 & 0 & -1 & 0 & 0 & -1 & 0 & 0 & 1 \end{pmatrix} \cdot W = \begin{pmatrix} 0 & 0 & 0 & 0 & 0 & 0 & 0 & 0 & 0 & 0 \\ 0 & 0 & 0 & 0 & 1 & 0 & 0 & 1 & 0 & 0 \\ 0 & 0 & 0 & 0 & 0 & 1 & 0 & 0 & 1 & 0 \\ 0 & 0 & 0 & 0 & 0 & 0 & 1 & 0 & 0 & -1 \\ 0 & 1 & 0 & 0 & 0 & 0 & 0 & 0 & 0 & 0 \\ 0 & 0 & 1 & 0 & 0 & 0 & 0 & 0 & 0 & 0 \\ 0 & 0 & 0 & 1 & 0 & 0 & 0 & 0 & 0 & 0 \\ 0 & 0 & 0 & 1 & 0 & 0 & 0 & 0 & 0 & 0 \\ 0 & 1 & 0 & 0 & 0 & 0 & 0 & 0 & 0 & 0 \\ 0 & 0 & 1 & 0 & 0 & 0 & 0 & 0 & 0 & 0 \end{pmatrix}$$

با استفاده از کدنویسی آن در SDP به آسانی می‌توان مشاهده کرد که مقدار بیشینه‌ی آن برابر با ۶ می‌شود و این محاسبات با اصل علیت اطلاعات سازگار است. پس از بهینه سازی این محاسبات از طریق نرم‌افزاری به نام SDPT3 که یک مجموعه‌ی کدنویسی در برنامه‌ی مطلب است [۲۲]، به مقداری برابر با $\gamma_0 = 5.6364$ می‌رسیم که ما این مقدار را برای حد بالای نامساوی بل بر می‌گزینیم و اگر رابطه (۳۳-۴) را به صورت زیر اصلاح کنیم:

$$q_i \leq x \quad (39-4)$$

پس نهایت محدودیتی برای هر چهار حالت ذکر شده در سطر اول باب بدست آوردهیم، حال مقدار

x چگونه خواهد بود:

$$x = \frac{1}{4}(\gamma_0 - 2) = \frac{1}{4}(5.6364 - 2) = 0.9091 \quad (40-4)$$

و برای حالت کلاسیک $4 \leq \gamma(A:B) \leq \gamma(B:A)$ از این مقدار بیشتر باشد، در این صورت x خواهد بود:

$$x = \frac{1}{4}(\gamma_0 - 2) = \frac{1}{4}(4 - 2) = \frac{1}{2} \Rightarrow x \geq \frac{1}{2} \quad (41-4)$$

پس در این صورت برای بررسی عدم وجود Eve به این نتیجه خواهیم رسید که γ_0 باید دارای بازه‌ای به صورت زیر باشد، که گواه آن است که Eve در سیستم دخالت ندارد و سیستم ایمن است.

$$4 \leq \gamma_0 \leq 5.6364 \quad (42-4)$$

به همین ترتیب محدودیت روی سطر اول باب برای چهار حالت اینگونه خواهد بود:

$$\frac{1}{2} \leq x \leq 0.9091 \quad (43-4)$$

۴-۵ ایمنی کلید در جعبه‌ایده آل

فرض کنید آلیس و باب یک جعبه R_{AB} را مشترکاً اندازه گیری کنند، استراق سمع کننده می‌تواند این جعبه را به صورت زیر تجزیه کند، که هر جعبه خود یک جعبه‌ی PM است یعنی اگر مثلاً برای جعبه‌های کوچک شرایط جعبه‌ی PM را بررسی کنیم به این می‌رسیم که جعبه‌های کوچک تجزیه شده هم PM هستند و شرایط KS و همبستگی‌های AB و شرط عدم علامتدهی را ارضاء می‌کنند:

$$R_{AB} = \sum_e r_e R_{AB}^e \quad (44-4)$$

(که ما به طور عمدی با جعبه های e برچسب زده ایم، زیرا تنها Eve است که جعبه R_{AB} را قطعاً می شناسد یعنی اگر فرض کنیم آنها جعبه A و B را با آزمون بررسی کنند و نوع جعبه را بدست آورند. پس با آزمون های نمونه های مختلف جعبه ها را مشخص می کنند یعنی ورودی ها و خروجی ها را شناسایی می کنند و با آزمون نمونه های مختلف A و B می توانند بدانند جعبه ها چه هستند، تجزیه (44-4) به صورت زیر بدست می آید:

Eve یک جعبه مشترک R_{ABE} می سازد و را به آلیس و باب می فرستد، پس می توان گفت، این جعبه یک سیستم سه ذره ای است که دو تا را برای آلیس و باب می فرستد و یکی مربوط به خودش است، وقتی آلیس و باب انتخاب های اندازه گیری شده خود را به هم می گویند، Eve هم قسمت خودش را اندازه می گیرد. مثلاً اگر حالت اصلی سیستم به صورت زیر باشد:

$$|\uparrow\uparrow\downarrow\rangle^z + |\downarrow\uparrow\uparrow\rangle^z + |\uparrow\downarrow\uparrow\rangle^z$$

اگر Eve حالت سیستم را در پایه های Z اندازه بگیرد و $|\downarrow\rangle^z$ بدست آورد، حالت توزیع شده برای آلیس و باب، $|\uparrow\uparrow\rangle^z$ خواهد بود و اگر $|\uparrow\rangle^z$ بدست آورد، حالت آنها $= |\downarrow\uparrow\rangle^z + |\downarrow\downarrow\rangle^z$ خواهد شد. حال اگر روی پایه های x اندازه بگیرد، آنگاه باید پایه ها به x تبدیل شوند و بعد از آن، روی آن اعمال می شود پس Eve می تواند، جعبه R_{AB} را هرگونه که بخواهد بسازد. اکنون استراق سمع-کننده هر کدام را برای یک جعبه کوچک ارسال می کند و این گونه برای جعبه های کوچک تجزیه شده حالت سیستم را متفاوت توزیع می کند. این یک نوع حمله از حملات استراق سمع-کننده است که

آن را حمله‌ی منفرد^۱ می‌نامیم. در این پایان‌نامه به دنبال بررسی این‌منی پروتکل با جعبه‌های ایده‌آل و نویزی در مقابل این حمله هستیم.

تا اینجا می‌دانیم که Eve می‌تواند جعبه‌های R_{AB} مربوط به آلیس و باب را در آنسامبل اختیاری

$$R_{AB} = \sum_e r_e R_{AB}^e \quad \text{که به صورت } \{q_e, R_{AB}^e\}$$

موقعیتی در مکانیک کوانتومی است که Eve با خالص سازی^۲ حالت‌های آلیس و باب همهٔ جهان پیرامون آن‌ها به جز خودشان را کنترل کند و این تنها کاری است که Eve می‌تواند انجام دهد. در این حالت ارسال سیگنال از Eve به آلیس و باب غیر ممکن است. پس Eve فقط می‌تواند نوع جعبه را بررسی کند، اما آنچه که آلیس و باب برای اندازه گیری انتخاب می‌کنند را نمی‌تواند تعیین کند. حال اگر جعبه R_{AB} یک جعبه دو طرفه PM باشد، R_{AB} باید به جعبه‌های PM تبدیل شود و این به خاطر شرایط جعبه‌های PM دو طرفه یعنی همان شرایط KS و همبستگی‌های AB است که بر مبنای عدم علامت دهی که یک اصل است فرمول بندی شده‌اند یعنی احتمال ارسال سیگنال از Eve به آلیس و باب به طور قطع است. بنابراین Eve فقط می‌تواند جعبه‌ی R_{AB} را دوباره به جعبه‌های PM تجزیه کند.

فرض کنید که آلیس و باب n جعبه را مشترکاً اندازه گیری کنند. آنها یک نمونه از n جعبه را برای بررسی اینکه آیا جعبه‌ای که به اشتراک گذاشته‌اند، PM است یا نه، انتخاب می‌کنند. در فرایند اثبات آن، آلیس ستون‌ها را به طور تصادفی اندازه می‌گیرد. در این زمان باب سطرها را به طور تصادفی اندازه می‌گیرد و اینگونه بررسی می‌کنند که آیا جعبه PM است یا خیر. از بقیه جعبه‌ها برای استخراج کلید استفاده می‌کنند.

ما گفتیم که Eve نمی‌تواند به طور قطع سطر اول را در طول زمانی که آلیس و باب همبستگی کامل دارند، بداند یا به عبارتی با توجه به حدود تعیین شده برای ۰٪، استراق‌سمع‌کننده در سیستم وجود

¹ Individual attack

² Purification

ندارد. پس آلیس و باب باید هر دو سطر اول را اندازه بگیرند و با استفاده از همبستگی AB , کلید را تعیین کنند. البته آلیس اگر سطر را اندازه می‌گیرد، باید از یک دستگاه با تنظیم متفاوت از آنکه ستون‌ها را محاسبه کرده است، استفاده کند، چون پروتکل ما مستقل از دستگاه است، ما باید فرض کنیم که وسیله می‌تواند مخرب باشد. در این خصوص هنگامی که آلیس می‌خواهد سطراها را اندازه بگیرد، او ممکن است در حقیقت تعدادی مشاهده پذیر کاملاً متفاوت نسبت به هنگامی که سطراها را اندازه می‌گیرد، اندازه بگیرد و در غیر این صورت Eve می‌تواند نتایج اندازه‌گیری را به طور کامل بداند.

به هر حال، چون ما از قبیل می‌دانیم که نتایج سطراول باب تا اندازه‌ای ایمن است، این کافی است که نتایج سطر اول آلیس با سطر اول باب همبستگی داشته باشند. پروتکل اینگونه پیشنهاد می‌شود: آلیس و باب n جفت ذره را به اشتراک گذاشته‌اند. آن‌ها دو نمونه از n جفت ذره را انتخاب می‌کنند. روی نمونه اول، آنها ستون‌ها و سطراها را به ترتیب اندازه می‌گیرند و اینگونه بررسی می‌کنند که جعبه PM به اشتراک گذاشته‌اند. در نمونه دوم آلیس و باب فقط سطر اول را اندازه می‌گیرند و بررسی می‌کنند که آیا نتایج، همبستگی دارد یا نه. روی بقیه جفتها آلیس و باب سطر اول را همچنین اندازه می‌گیرند و نتایج، کلید خام را تشکیل می‌دهند. سپس آنها روش‌های استاندارد تصحیح خطأ و تقویت محرمانه را برای کوتاه کردن و ایمن کردن آن به کار می‌برند. در حالت جعبه ایده‌آل تصحیح خطأ احتیاج نداریم چرا که نتایج آلیس و باب کاملاً با هم همبستگی دارند و تنها تقویت محرمانه انجام خواهد شد. تصحیح خطأ برای حالت نویزی است که در ادامه توضیح خواهیم داد.

در ارزیابی ایمنی کلید تعیین شده ما اکنون به تجزیه و تحلیل متغیرهای تصادفی سه‌تایی (A, B, E) خواهیم پرداخت. A و B مشاهده پذیرهایی هستند که به ترتیب سطر اول آلیس و باب را توصیف می‌کنند و $E = e$ متغیر Eve است، که آنسامبل تصادفی $(44-4)$ را توصیف می‌کند یعنی احتمال q_e .

حال ما می توانیم با استفاده از فرمول معروف کساز-کرنر^۱ حد پایینی برای نرخ امنیت کلید(K) بدست آوریم [۲۹,۲۸] که در آن $I(A:B)$ اطلاعات متقابل شانون از توزیع های احتمالی توأمان سطر اول آلیس و باب است و $I(A:E)$ نشان دهنده اطلاعات متقابل شانون از توزیع های احتمال توأمان سطراول آلیس و نتایج اندازه گیری Eve است و البته بررسی سطر اول مدنظر است ولی در اینجا به علت وجود همبستگی های کامل می توان سطر اول آلیس هم بررسی کرد، ولی برای حالت نویزی تنها باید به بررسی سطر اول باب بپردازیم:

$$K \geq I(A:B) - I(A:E) \quad (45-4)$$

این فرمول را می توان با بیان آنتروپی شرطی دوباره نویسی کرد:

$$K \geq H(A|E) - H(A|B) \quad (46-4)$$

$H(A|B)$ به علت همبستگی های کامل برابر با \cdot است گرچه Eve جعبه را در یک آنسامبل تجزیه خواهد کرد، هر جز آنسامبل جعبه PM است که شرایط (۴۴-۴) را ارضاء خواهد کرد. با توجه به حدودی که برای سطر اول باب قائل شدیم، پس کمترین توزیع آنتروپی را اینگونه تعریف می کنیم:

$$(x,1-x,0,0) \quad (47-4)$$

و $x = 0.9091$ پس میزان آنتروپی شرطی به صورت زیر است:

$$H(A|E) = -\sum p(A|E) \log_2 p(A|E) \quad (48-4)$$

^۱Csiszar-Korner

پس داریم:

$$H(A|E) = -[(0.9091)\log_2(0.9091) + (1-0.9091)\log_2(1-0.9091)] = 0.439$$

و از آن می‌توان نرخ امنیت کلید را بدست آورد که برابر با $0/439$ است.

جعبه ایده آل PM بررسی شده متناظر با موقعیتی است که هیچ اختلالی (یعنی همبستگی کامل میان آلیس و باب) در سیستم وجود ندارد. ما می‌بینیم که در این حالت، Eve می‌تواند تنها قسمتی از اطلاعات را بدست آورد. بنابراین اکنون ما یک نسخه استخراج اطلاعات در حضور اختلال را مشاهده می‌کنیم.

۶-۴ حالت نویزی^۱

در این قسمت به بررسی سیستمی می‌پردازیم که ذرات آن با محیط بر هم‌کنش کرده و باعث اغتشاشاتی در حالت سیستم می‌شوند، مثلاً حالت را دچار چرخش می‌کند. در چنین حالاتی حتی در حالت همبستگی کامل هم کل اطلاعات سیستم قابل حصول نیست. در ادامه این جعبه را بررسی می‌کنیم.

اول از همه توجه می‌کنیم که این جعبه شرایط KS را کاملاً ارضا می‌کند به عبارتی آلیس و باب جعبه را وادار می‌کنند که شرایط KS را داشته باشند، به این طریق که دو مشاهده پذیر از سه‌تای سطر اول اندازه می‌گیرند و سومی را با توجه به آنها می‌سازند. بنابراین نویز تنها همبستگی‌های میان آلیس و باب را تحت تأثیر قرار می‌دهد. ما فرض خواهیم کرد که برای مشاهده‌پذیرهای پرس-مرمین، آلیس و باب همبستگی‌هایی با احتمال $4 - 1$ تعیین می‌شود یعنی 4 میزان خطای حاصل از نویز است. به طور واضح خواهیم دید که افزایش خطای سیستم باعث کم شدن محدودیت‌های سطر اول باب می‌شود. در زیر به دنبال بررسی محدودیت روی سطر اول باب در حالت نویزی هستیم:

¹ Noisy case

با استفاده از نامساوی که از قبل می دانستیم و با $p_i \equiv p(B''_i = +1)$ شروع خواهیم کرد و با استفاده از اینکه می دانیم همبستگی میان A''_i و B''_i با احتمال $\varepsilon - 1$ است، خواهیم داشت:

$$p(A''_i = +1) \geq p(A''_i = B''_i) + p(B''_i = +1) - 1 \quad (49-4)$$

$$p(A''_i = +1) \geq p_i + (1 - \varepsilon) - 1 = p_i - \varepsilon$$

و با استفاده از شرایط KS خواهیم داشت:

$$p(A_1 = A'_1) = p(A''_1 = +1)$$

$$p(A_2 = A'_2) = p(A''_2 = +1)$$

$$p(A_3 = A'_3) = p(A''_3 = +1)$$

$$\Rightarrow p(A_i = A'_i) = p_i - \varepsilon$$

چون A'_i و B'_i با احتمال $\varepsilon - 1$ همبستگی دارند، پس با استفاده دوباره از نامساوی (48-۴)، داریم:

$$p(A_1 = B'_1) \geq p(A_1 = A'_1) + p(A'_1 = B'_1) - 1 = p_1 - \varepsilon + 1 - \varepsilon - 1 = p_1 - 2\varepsilon$$

$$\Rightarrow p(A_1 = B'_1) \geq p_1 - 2\varepsilon$$

$$p(A_2 = B'_2) \geq p(A_2 = A'_2) + p(A'_2 = B'_2) - 1 = p_2 - \varepsilon + 1 - \varepsilon - 1 = p_2 - 2\varepsilon \quad (51-4)$$

$$\Rightarrow p(A_2 = B'_2) \geq p_2 - 2\varepsilon$$

$$p(A_3 \neq B'_3) \geq p(A_3 = A'_3) + p(A'_3 = B'_3) - 1 = p_3 - \varepsilon + 1 - \varepsilon - 1 = p_3 - 2\varepsilon$$

$$\Rightarrow p(A_3 \neq B'_3) \geq p_3 - 2\varepsilon$$

و از طرفی هم داریم:

$$p(A_i = B_i) \geq 1 - \varepsilon \quad (52-4)$$

پس با جایگذاری آنها در رابطه نامساوی (۹-۴) حدود را برای سطر اول باب در جعبه نویزی به صورت زیر بدست خواهیم آورد:

$$\begin{aligned} \beta(A:B) &\geq p_1 + p_2 + p_3 + 3 - 9\varepsilon \\ p_1 + p_2 + p_3 &\leq \beta' - 3 \end{aligned} \quad (53-4)$$

همانطور که مشاهده شد، برای حالت نویزی هم حدودی مشابه با حالت بدون نویز بدست آورديم، با اين تفاوت که به جای β از $\beta' = \beta + 9\varepsilon$ استفاده کرده‌ایم، به همين طريقي می‌توانيم برای حالات ديگر در سطر اول باب (--- و + - و - -) اين کار را انجام دهيم و حدود زير را برای احتمالات توأمان q_i مربوط به نتایج سطر اول بدست آوريم:

$$q_i \leq \frac{1}{2}(\beta_0 + 9\varepsilon - 4) \quad (54-4)$$

که نهايتاً می‌توان گفت:

$$q_i \leq \frac{1}{2}(\beta_0 - 4) + 4.5\varepsilon \quad (55-4)$$

و با توجه به مقدار بدست آمده برای نامساوی (۸-۴)، $5.6364 \leq \gamma_0$ خواهیم داشت:

$$q_i \leq \frac{1}{4}(\gamma_0 - 4) + 4.5\varepsilon \Rightarrow q_i \leq 0.9091 + 4.5\varepsilon \quad (56-4)$$

برای $i = 0, 1, 2, 3$

حال به بررسی نرخ ایمنی کلید که نتیجتاً به ارزیابی نویز آستانه منجر می شود، می پردازیم. ما یک جعبه PM نویزی را بررسی می کنیم، شرایط KS هنوز کامل هستند و تنها همبستگی های AB کامل نیستند. ارزیابی خطای پروتکل به دو بخش تقسیم می شود. ابتدا آليس ستون ها را به طور تصادفی اندازه می گیرد و سپس باب سطرها را به طور تصادفی اندازه می گیرد. ۹ ترکیب متفاوت از سطر و ستون وجود دارد و در هر ترکیب، یک مشاهده پذیر مشترک وجود دارد. برای مثال می توان گفت، اگر آليس ستون اول و باب سطر اول را انتخاب کنند، آنگاه مشاهده پذیر مشترک طبق جدول (۱-۴) σ_z^1 می باشد. ما فرض خواهیم کرد که در هر ترکیب، احتمالات با خطای مشابه ϵ هستند.

سپس همانطور که مشاهده شد، حدودی روی سطر اول باب تعیین می شود که این مقدار برابر با $q_i \leq 0.9091 + 4.5\epsilon$ شد و در نتیجه با استفاده از آن حدودی روی $H(B|E)$ بدست می آوریم. حال آنتروپی سطر اول باب در حضور نویز ϵ را این گونه تعریف می کنیم:

$$H(B;\epsilon) \geq h(x) \equiv f(\epsilon) \quad (57-4)$$

$f(\epsilon)$ یک تابع نزولی است و مثبت است که این تابع بر حسب ϵ می باشد. معادل با آنتروپی باب هنگامی که در سیستم ناهمبستگی داریم و آن را با $h(x)$ به معنای آنتروپی دوتایی می نامیم و به صورت زیر محاسبه می شود:

$$h(x) \equiv f(\epsilon) = (x \log_2 x + (1-x) \log_2 (1-x)) \quad (58-4)$$

$$x = \min(0.9091 + 4.5\epsilon, 1)$$

با توجه به x می توان گفت $h(x)$ از نظر ریاضی یک تابع نزولی است که در مقابل کمترین ϵ یعنی کمترین دامنه، بیشترین برد خود یعنی ۱ را دارد.

پس از اینکه استراق سمع کننده روی سیستم خودش، یک اندازه‌گیری انجام دهد، جعبه‌ی آلیس و باب را به آنسامبل زیر به دو نیم می‌کند. برای حالت نویزی برای اندیس آنسامبل به جای e از i استفاده می‌کنیم:

$$R_{AB} = \sum_e r_e R_{AB}^e = \sum_i r_i R_{AB}^i$$

$$H(B|E) = \inf \sum_i r_i H(B)_i \quad (59-4)$$

$H(B)_i$ آنتروپی سطر اول باب از جعبه R_{AB}^i ، r_i احتمال تجزیه شدن جعبه است و \inf ¹ به معنی بیشترین حد پایین مجموعه است و روی تمام تجزیه‌ها اثرمی کند. به عبارتی رابطه بالا به این معنی است که $H(B:E)$ برابر با کمترین آنتروپی متوسط سطر اول باب برای جعبه‌ها است. چون ما به دنبال کمترین توزیع آنتروپی هستیم و از طرفی می‌دانیم که در حضور Eve جعبه‌ها به دو نیم تقسیم می‌شوند، پس باید آنتروپی شرطی میان B و E را به صورت بالا محاسبه کنیم. با توجه به اینکه جعبه‌های R_{AB} که به آنسامبل $\sum_i r_i R_{AB}^i$ ، پس می‌توان گفت، آن‌ها شرایط زیر را ارضا می‌کند:

$$\mathcal{E} = \sum_i r_i \mathcal{E}_i \quad (60-4)$$

$$\Rightarrow f(\mathcal{E}) = \sum_i r_i f(\mathcal{E}_i) \quad (61-4)$$

پس رابطه آنتروپی $H(B|E)$ می‌شود:

$$H(B|E) \geq \inf_{\{q_i, \mathcal{E}_i\}} \sum_i r_i f(\mathcal{E}_i) \quad (62-4)$$

که در آن $\sum_i r_i \mathcal{E}_i = \mathcal{E}$ و $\sum_i r_i = 1$ است.

¹infimum

برای ارزیابی رابطه‌ی (۶۲-۴) با استفاده از نامساوی مارکوف^۱ که حد پایینی برای احتمال اینکه مقدار چشمداشتی کمیتی کمتر از مقدار مثبتی بیان می‌کند، خواهیم داشت:

$$\Pr(\varepsilon < \delta) \geq 1 - \frac{\varepsilon}{\delta} \quad , \quad \delta > 0 \quad (63-4)$$

همانطور که گفته شد r_i ‌ها احتمال تجزیه‌ی جعبه‌هاست، پس می‌توان نامساوی مارکوف را به صورت زیر بازنویسی کرد:

$$\sum_{i: \varepsilon_i < \delta} r_i \geq 1 - \frac{\varepsilon}{\delta} \quad (64-4)$$

چون در رابطه (۶۲-۴) به دنبال \inf روی r_i و ε_i هستیم و $\delta < \varepsilon$ است پس یعنی بیشینه حد پایین ε مدنظر است، به همین دلیل به جای ε از δ در محدودیت سطراول باب استفاده می‌کنیم. حال چون می‌خواهیم کمترین حد بالای $\sum_i r_i$ را مدنظر قرار دهیم، پس از مفهوم \sup^2 که کمترین حد بالا را برای مجموعه تعیین می‌کند، استفاده می‌کنیم و آن را روی δ اعمال می‌کنیم. پس در نهایت رابطه مربوط به آنتروپی $H(B|E)$ به صورت زیر می‌شود:

$$H(B|E) \geq \sup_{\delta} \left(1 - \frac{\varepsilon}{\delta} \right) h(0.9091 + 4.5\delta) \quad (65-4)$$

در بخش دوم ارزیابی خطای آليس سطر اول را اندازه می‌گیرد و باب هم سطر اول را اندازه می‌گیرد، احتمال آنکه نتایجشان متفاوت باشد $\tilde{\epsilon}$ می‌باشد. به منظور داشتن یک پارامتر تک نویز در سطر،

¹ Markov's inequality

² supremum

(یعنی همه آرایه‌ها فقط یک مقدار نویز داشته باشد) که برای سادگی فرض می‌کنیم ϵ باشد، از

شرایط KS داریم:

$$\epsilon = \frac{2}{3} \tilde{\epsilon} \quad (66-4)$$

که می‌توان آن را به صورت زیر تعریف کرد:

خطای مربوط به هر گره (ϵ)، با توجه به شرایط KS شامل $\frac{2}{3}$ خطای اشتباه اندازه گرفتن ($\tilde{\epsilon}$) است.

با استفاده از نامساوی فانو¹ که به دنبال بدست آوردن اطلاعات غلط میان دو متغیر تصادفی X و Y است به این معنی که حد بالایی برای آنتروپی شرطی میان X و Y با توجه به محاسبه‌ی نتایج غلط میان آن دو بدست می‌آورد. این نامساوی به صورت زیر تعریف می‌شود:

$$H(p_e) + p_e \log_2(|x| - 1) \geq H(X|Y) \quad (67-4)$$

که $|x|$ تعداد نتایج ممکن و p_e احتمال اشتباه بودن نتایج اندازه‌گیری و $H(\cdot)$ آنتروپی دوتایی است.

پس می‌توان گفت:

$$p_e = \tilde{\epsilon}$$

و اگر به جای X و Y به ترتیب A (آلیس) و B (باب) در نظر بگیریم:

$$H(\tilde{\epsilon}) + \tilde{\epsilon} \log_2(|B| - 1) \geq H(B|A) \quad (68-4)$$

که $H(\tilde{\epsilon})$ آنتروپی دوتایی است یعنی:

$$H(\tilde{\epsilon}) = \tilde{\epsilon} \log_2 \tilde{\epsilon} + (1 - \tilde{\epsilon}) \log_2 (1 - \tilde{\epsilon}) \quad (69-4)$$

¹Fano's inequality

پس نهایتاً خواهیم داشت:

$$H\left(\frac{3}{2}\varepsilon\right) + \left(\frac{3}{2}\varepsilon\right)\log_2(4-1) \geq H(B|A) \quad (70-4)$$

آنتروپی دوتایی را بهتر است با $h(\cdot)$ نشان دهیم:

$$h\left(\frac{3}{2}\varepsilon\right) + \left(\frac{3}{2}\varepsilon\right)\log_2 3 \geq H(B|A) \quad (71-4)$$

و بدین طریق با استفاده از رابطه Csiszar-korner خواهیم داشت:

$$K \geq H(B|E) - H(B|A) \geq \sup_{\delta} \left(1 - \frac{\varepsilon}{\delta}\right) h(0.9091 + 4.5\delta) - \left\{h\left(\frac{3}{2}\varepsilon\right) + \left(\frac{3}{2}\varepsilon\right)\log_2 3\right\} \quad (72-4)$$

برای محاسبه بیشترین حد آنتروپی که منجر به بیشترین نرخ کلید می شود، گفته بودیم

که $x = (0.9091 + 4.5\varepsilon) = 1$ و این یعنی $h(0.9091 + 4.5\varepsilon) = 1$ است، پس در این صورت برای

خواهیم داشت: $\text{Max } H(B|E)$

$$H(B:E) = \left(1 - \frac{\varepsilon}{\delta}\right) h(0.9091 + 4.5\varepsilon) \cong 0.44 \quad (73-4)$$

$$\begin{aligned} 1 - \frac{\varepsilon}{\delta} &= 0.44 & \Rightarrow & & \frac{\varepsilon}{\delta} &= 0.56 \\ \Rightarrow \delta &= 1.8\varepsilon & & & & \end{aligned} \quad (74-4)$$

پس از قرار دادن $\delta = 1.8\epsilon$ در (۴۵-۴) به فرمول زیر که همه برحسب ϵ است، می‌رسیم:

$$K \geq 0.44h(0.9091 + 8.1\epsilon) - h\left(\frac{3}{2}\epsilon\right) - \left(\frac{3}{2}\epsilon\right)\log_2 3 \quad (75-4)$$

کم ترین نرخ کلید ۰ است. پس می‌توان نویز آستانه را بدست آورد.

$$\begin{aligned} & 0.44(0.9091 + 8.1\epsilon)\log_2(0.9091 + 8.1\epsilon) - 0.44(1 - 0.9091 - 8.1\epsilon)\log_2(1 - 0.9091 - 8.1\epsilon) \\ & + \left(\frac{3}{2}\epsilon\right)\log_2\left(\frac{3}{2}\epsilon\right) + \left(1 - \frac{3}{2}\epsilon\right)\log_2\left(1 - \frac{3}{2}\epsilon\right) - \frac{3}{2}\epsilon\log_2 3 = 0 \end{aligned}$$

با استفاده از حل عددی این معادله در مطلب، مقدار نویز آستانه سیستم برابر با مقدار $\epsilon_0 \leq 0.0068$

بدست آمد یعنی اگر نویز سیستم از این مقدار بیشتر باشد کلید دیگر معتبر نیست.

حال اگر بیشترین حالت کلید که مقدار 0.439 است مدنظر باشد، میزان خطای سیستم به صورت زیر

خواهد بود:

$$0.439 = -0.44(0.9091 + 8.1\epsilon)\log_2(0.9091 + 8.1\epsilon) - 0.44(0.09091 - 8.1\epsilon)\log_2(0.09091 - 8.1\epsilon)$$

$$+ \left(\frac{3}{2}\epsilon\right)\log_2\left(\frac{3}{2}\epsilon\right) + \left(1 - \frac{3}{2}\epsilon\right)\log_2\left(1 - \frac{3}{2}\epsilon\right) - \frac{3}{2}\epsilon\log_2 3 \Rightarrow \epsilon \approx 0$$

پس نویز سیستم در بازه‌ی $0 < \epsilon < 0.0068$ قرار دارد و همانطور که می‌دانیم نرخ محرمانه بودن

کلید در این بازه به صورت زیر خواهد بود:

$$0 \leq K \leq 0.439$$

۷-۴ بررسی اینمنی بدست آمده با به کارگیری مکانیک کوانتومی

تا اینجا ما یک جعبه‌ی آرمانی و خیالی را مورد بررسی قرار دادیم، با استفاده از نتایج خود، لازم می‌دانیم که این جعبه در آزمایشگاه قابل بررسی باشد یعنی از طریق مکانیک کوانتومی تأیید شود. در واقع جعبه توسط اندازه گیری مشاهده پذیری‌های پرس – مرمین توسط آلیس و باب تعیین می‌شود، که نهایتاً منجر به استخراج غیر موضعیت از وابستگی به زمینه می‌شود [۳۰].

حال اگر ما یک جعبه سه تایی داشته باشیم، می‌توان نشان داد که اینمنی بیت با سه قسمت تعیین می‌شود و به علاوه اینمنی تنها با فرض عدم علامت دهی برقرار است. به هر حال گرچه چنین جعبه‌ای وجود دارد اما متاسفانه نمی‌توان آن را با وسایل مکانیک کوانتومی به وجود آورد یعنی آن در طبیعت وجود ندارد (این قطعاً با نتایج ما سازگار است).

دلایل ما اثبات می‌کند که کلید تعیین شده تحت حمله منفرد اینمن است (یعنی *Eve* با هر جعبه به طور مستقل جفت می‌شود و قبل از آلیس و باب اندازه می‌گیرد، به این حمله، حمله منفرد می‌گوییم)

نتیجه‌گیری و پیشنهادات

در این پایان نامه با پروتکل مستقل از دستگاه که شبیه به BB84 بود آشنا شدیم. این پروتکل با بهره‌گیری از متناظر نمای کوشن-اسپکر به اندازه‌گیری کمیات ناسازگار می‌پردازد و تبادل میان اطلاعات بدست آمده و اختلالات سیستم انجام می‌شود.

اگر این پروتکل را با پروتکلهایی که بطور مستقیم از غیرموضعیت استفاده می‌کنند مقایسه کنیم، به طور واضح باید جعبه‌های دو طرفه‌ی ما غیرموضع باشند. در غیر این صورت طبق گفته‌ی ایکرت، استراق سمع کننده می‌تواند تمام نتایج اندازه‌گیری‌های آلیس و باب را بدست آورد. پس ارتباط مستقیمی میان این پروتکل‌ها و پروتکل‌های غیر موضع وجود دارد. به علاوه مشاهده کردیم که پس از بررسی سیستم با استفاده از نقض نامساوی بل و بهینه سازی آن به یک غیرموضعیت قوی رسیدیم. بعد از استخراج کلید و بررسی نرخ محترمانه بودن کلید با استفاده از مفاهیم آماری به این‌نی بسیار بالاتری نسبت به بقیه‌ی پروتکل‌های غیر موضعیت رسیدیم چرا که برای ایمن‌ترین پروتکل تا به اکنون نویز آستانه‌ی سیستم ۲٪ بدست آمده است و ارسال اطلاعات از طریق این پروتکل با مقدار ۶۸٪ بسیار ایمن‌تر است.

در ادامه پیشنهاد می‌شود که:

- ۱- ضمن بررسی و اعمال بقیه‌ی متناظر نمایانه کوشن-اسپکر، می‌توان این‌نی پروتکل‌های مستقل از دستگاه را بالا برد.
- ۲- به علاوه می‌توان این‌نی این پروتکل را در مقابل بقیه‌ی حملات استراق سمع کننده بررسی کرده و آن‌ها را با پروتکل‌های غیرموضعیت دیگر مقایسه کرد

منابع:

- [1] M. A. Nielson and I. L. Chuang, (2000) "Quantum computation and quantum information", Cambridge, United Kingdom
- [2] D. McMahon , "Quantum computation explained", A John Wiley & Sons, Inc., Publication
- [3] J. Cirasella, (2008) "Historical bibliography of quantum computing", Brooklyn College Library
- [4] وحید کریم پور، مقاله ایندهم، نظریه اطلاعات کلاسیکی (<http://sina.sharif.edu/~vahid/teachingQL.html>)
- [5] A. Einstein, B. Podolsky, and N. Rosen (1935), Phys. Rev. 47, 777
- [6] J. Preskill, (1998) "Lecture Notes for Physics 229: Quantum information and computation", California Institute of Technology, September
- [7] M. Oskin, "Quantum computing-Lecture Notes", Department of Computer Science and Engineering University of Washington
- [8] M. L. Bellac, (2006) "An introduction to quantum information and quantum computation", translated by Patricia de forcrand –millard, Cambridge
- [9] P. Kaye, Raymond Laflamme Michel Mosca, "An Introduction to quantum computing", Oxford
- [10] J. F. Clauser, M. A. Horne, A. Shimony, and R. A. Holt (1969), Phys. Rev. Lett. 23, 880
- [11] H. Movahedian, (2008) "Stronger Violation of Local Theories with Equalities", arxiv.org:quant-ph/0611124v5
- [12] P. Shor, (1995) "Scheme for reducing decoherence in quantum computer memory", Phys. Rev. A 52, R2493
- [13] G. P. Berman, G. D. Doolen, R. Mainieri, V. I. Tsifrenovich, (1998) "Introduction to quantum computers", British Library Cataloguing-in-Publication Data
- [14] C. H. Bennett and G. Brassard, (1984) in Proceedings of the IEEE International Conference on Computers, Systems and Signal Processing (IEEE Computer Society Press, New York, Bangalore, India, December 1984), pp. 175–179.
- [15] A. K. Ekert, (1991) Phys. Rev. Lett. 67, 661
- [16] C. H. Bennett, G. Brassard, and N. D. Mermin, (1992) Phys. Rev. Lett. 68, 557

- [17] H. Bechmann-Pasquinucci and A. Peres (2000) **Phys. Rev. Lett.** **85**, 3313
[arXiv:quant-ph/0001083](https://arxiv.org/abs/quant-ph/0001083).
- [18] K. Nagata, (2005) **Phys. Rev. A** **72**, 012325), [arXiv.org:quant-ph/0503158](https://arxiv.org/abs/quant-ph/0503158)
- [19] S. Kochen and E. P. Specker (1967), **J. Math. Mech.** **17**, 59
- [20] S. Wehner, (2006) **Phys. Rev. A** **73**, 022110 [arXiv:quantph/0510076](https://arxiv.org/abs/quantph/0510076)
- [21] J. Barrett, L. Hardy, and A. Kent, (2005), **Phys. Rev. Lett.** **95**, 010503
- [22] R. H. Tutuncu, K. C. Toh and M. J. Todd, **March.(2001)** " Solving semide_nite-quadratic-linear programs using SDPT3",
- [23] A. Acin, N. Brunner, N. Gisin, S. Massar, S. Pironio, and V. Scarani , (2007) **Phys. Rev. Lett.** **98**, 230501. [arXiv.org:quant-ph/0702152](https://arxiv.org/abs/quant-ph/0702152).
- [24] M. Pawłowski, T. Paterek, D. Kaszlikowski, V. Scarani, A. Winter, and M. Zukowski (2009), **Nature** **461**, 1101, [arXiv.org:quant-ph/0905.2292](https://arxiv.org/abs/quant-ph/0905.2292).
- [25] A. Peres, (1990). **Phys. Lett. A** **151**, 107
- [26] N. D. Mermin, (1990). **Phys. Rev. Lett.** **65**, 3373
- [27] A. Stairs, **Philos. (1983).Sci** **50**, 578
- [28] I. Csiszár and J. Körner, (1978). **IEEE** **24**, 339
- [29] U. M. Maurer, (1993).**IEEE** **39**, 773
- [30] A. Cabello, A bell inequality with local violation (2009). [arXiv.org:quant-ph/0910.5507](https://arxiv.org/abs/quant-ph/0910.5507).
- [31] E. J. Sullivan, (2008). A thesis submitted to the Graduate Faculty of **North Carolina State University** in partial fullfillment of the requirements for the Degree of Master of Science
- [32] K. Horodecki, M. Horodecki, P. Horodecki, R. Horodecki3,2, Marcin Pawłowski, and M. Bourennane, (2010). [ArXiv.org:quant-ph/1006.468](https://arxiv.org/abs/quant-ph/1006.468).

Abstract

Nowadays, transmission information between Alice and Bob, by method of quantum mechanics is focus of attention of scientists and researchers. In this way, trying for the most of security is very important.

The first protocol, so called BB84, based on the fundamental quantum feature: incompatibility of measurements of quantum non-computing observables. So, following security of transmission information in systems that they have many eavesdroppers, we receive to below results.

In this thesis, we use another feature of quantum world- contextuality that manifested in famous Kochen-Specker paradox, and we increasing security of system, even if they do not trust devices.

This paradox includes families of bipartite probability distributions which locally exhibit the Kochen-Specker paradox conditions and, in addition, exhibit a new Bell's inequality by using of principle information causality, that it has correlations stranger than quantum correlations. After all by using violation it, we gain an interval for considering about existing or not existing eavesdropper. In addition, after computing threshold noise, we obtain the rate of secure key.

Keywords: Non locality - quantum information - quantum entanglement - quantum measurement - contextuality - quantum key distribution



Shahrood University of Technology

Faculty of physics

The effect of contextuality on the security of quantum key distribution

Fatemeh Mohammadi Pelarti

**Supervisor:
Dr. Hossein Movahhedian**

September 2011